

TECHNICKÁ UNIVERZITA V LIBERCI
FAKULTA TEXTILNÁ



DIPLOMOVÁ PRÁCA

**PRÍPRAVA PLOŠNÝCH ÚTVAROV
S OBHAHOM SUPERJEMNÝCH VLÁKEN**

Soňa LAKATOVÁ

1997

TECHNICKÁ UNIVERZITA LIBEREC
FAKULTA TEXTILNÁ

Obor 3126 - 52

Textilná technológia

KATEDRA NETKANÝCH TEXTILIÍ

**PRÍPRAVA PLOŠNÝCH ÚTVAROV
S OBSAHOM SUPERJEMNÝCH VLÁKEN**

Soňa LAKATOVÁ

Vedúci diplomovej práce : Ing. Lenka Martinová, CSc.
TU Liberec

Rozsah diplomovej práce :

Počet stran : 76
Počet tabulek : 29
Počet obrázků : 20
Počet grafov : 11

Fakulta textilní

Katedra netkaných textilií

Školní rok: 1996-1997

ZADÁNÍ DIPLOMOVÉ PRÁCE

pro Soňu L a k a t o v o u
obor 3126 - 53 Textilní technologie, obor netkané textilie

Vedoucí katedry Vám ve smyslu zákona č. 172/1990 Sb. o vysokých školách určuje tuto diplomovou práci:

Název tématu: Příprava plošných útvarů a obsahem superjemných vláken

Zásady pro vypracování :

1. Prostudujte dostupné informace o technologii melt-blown a vlastnostech těchto výrobků.
2. Důkladně se seznamte s obsahem a proměnnými parametry polo-provozní jednotky melt-blown.
3. Připravte plošné útvary s různým obsahem pojivových vláken (např. POP/PE, PES/koPES, PE).
4. Zpracujte vlákenné vrstvy do objemné textilie a zhodnotte jejich základní vlastnosti a výsledky diskutujte.

KNT/NT

70 s., 5 s. přl.

11/98 T

1994

Rozsah grafických prací:

Rozsah průvodní zprávy: 40 - 60 stran

Seznam odborné literatury:

1. Firemní literatura J&M Laboratories

2. Kolektiv: Melt-blown Technology Today, Miller Freeman, Inc., 1989,
San Francisco

ZADÁNÍ DIPLOMOVÉ PRÁCE

Vedoucí diplomové práce: Ing. Lenka Martinová, CSc.

Konzultant:

Zadání diplomové práce: 16.10.1996

Termín odevzdání diplomové práce: 30.5.1997



Vedoucí katedry

Doc. RNDr. Oldřich Jirsák, CSc.

Děkan

Prof. Ing. Jiří Militký, CSc.

V Liberci dne 16.10.1996

OBSAH

1. ÚVOD	8
2. TEORETICKÁ ČASŤ	9
2. 1. Technológia melt-blown	9
2. 1. 1. Efekt nízkeho indexu toku polymeru	10
2. 1. 2. Efekt zmeny rýchlosťi vzduchu	11
2. 2. Štruktura melt-blown	12
2. 3. Zhodnotenie technológie melt-blown	15
2. 4. Účinnosť melt-blown procesu	18
2. 5. Aplikácia melt-blown	21
2. 5. 1. Charakteristika POP	21
2. 5. 2. Viskozita taveniny POP	22
2. 5. 3. Výber polymeru pre melt-blown	24
2. 5. 4. Distribučná krvka molekulovej hmotnosti POP	25
2. 6. Polymerné zmesi	25
2. 6. 1. Klasifikácia polymerneh zmesi	25
2. 6. 2. Termodynamické a fázové chovanie polymernej zmesi	26
2. 6. 3. Charakteristika polymernej zmesi	29
2. 6. 4. Vlastnosti polymernej zmesi	30
2. 6. 5. Komerčné polymerné zmesi	31
2. 6. 5. 1. Miesiteľné zmesi	31
2. 6. 5. 2. Nemiesiteľné zmesi	31
2. 7. Vzmedzenie pojmu filtrácie	31
2. 7. 1. Filtračné vlastnosti	32
2. 7. 2. Filtračné vlastnosti filtrov	32
2. 7. 3. Filtračné materiály	33
2. 7. 4. Základné charakteristiky filtrov a filtrácie	34

2. 7. 5. Filtračné mechanizmy	36
2. 8. Povrch filtra a hĺbka filtrácie	37
2. 8. 1. Zanášanie filtrov	38
2. 9. Aplikácia filtrov	39
2. 10. Zhrnutie teoretickej časti	41
2. 11. Ciel' diplomovej práce	41
3. EXPERIMENTÁLNA ČASŤ	42
3. 1. Príprava vzoriek pre experiment	42
3. 1. 1. Príprava vlákenného materiálu	42
3. 2. Výroba plošného útvaru	45
3. 2. 1. Príprava plošného útvaru pre objemnú textiliu	46
3. 3. Výroba objemnej textilie	46
3. 4. Meranie charakteristických parametrov vyrobených NT	47
3. 4. 1. Filtrácia prachu	47
3. 4. 2. Relatívna četnosť zastúpenia vlákna j-tej komponenty v zmesi	51
3. 4. 3. Určenie priemeru mikrovláken	51
3. 4. 4. Určenie hrúbky filtrov	52
3. 4. 5. Rozbor filtra DGA 091 001	52
3. 4. 6. Zistovanie predysnosti filtrov	54
4. ZHODNOTENIE VÝSLEDKOV MERANÍ - DISKÚSIA	55
5. ZÁVER	67
POUŽITÁ LITERATÚRA	70
PRÍLOHA	71

LEGENDA

IT	<i>index toku</i>
MB	<i>melt-blown</i>
MFR (melt flow rate, ang.)	<i>index toku</i>
POP	<i>polypropylén</i>
VV POP	<i>vysokoviskózna polypropylén</i>
PES	<i>polyester</i>
ko PES	<i>kopolyester</i>
PVC	<i>polyvinylchlorid</i>
n_j	<i>j-tá častica komponenty</i>
M_w	<i>molekulová hmonost'</i>
M_n	<i>polydisperzný index</i>
T_g	<i>teplota skelného prechodu</i>
MWD (molecular weight distribution, ang.)	<i>distribucia molekulovej hmotnosti</i>
GPC (gel permeation chromatography, ang.)	<i>gelová chromatografia</i>

1. ÚVOD

Technológia melt-blown je jedna z najnovších technológií vo vývoji výroby NT. Táto technológia je výjimočná tým, že je schopná vyrobiť rádovo mikrovlákna oproti veľkostiam vláken bežne používaných textilnom priemysle.

Výroba spočíva v rozfukovaní taveniny do mikrovlákenných rún. Priemer vláken melt-blown sa pohybuje od 2 - 4 μm . Je možné vyrobiť aj jemnejšie vlákna s priemerom 0,1 μm , ale aj hrubšie 10 - 15 μm .

Základom technológie melt-blown výroby je skorigovanie následujúcich parametrov:

- typu polymeru
- jemnosti a dlžky vláken
- formovanie vlákennej vrstvy
- navijania
- konečnej úpravy

Mikrovlákenná štruktúra melt-blown dodáva textiliam ich charakteristické vlastnosti. K podtrhnutiu nových charakteristických vlastností sa v súčasnej dobe začínajú používať rôzne zmesové materiály (napr. PES / koPES, POP / VV POP atď).

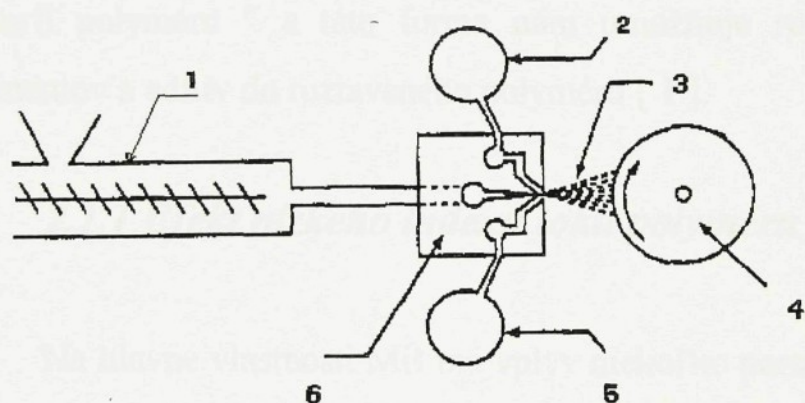
V roku 1989 bola zaznamenaná spotreba výroby melt-blown 45,5 ton. Táto spotreba sa každoročne zvyšuje. Najväčší dopyt je po filtračných médiach vyrábaných technológiou melt-blown. Filtračné média sú rozlišované pre filtráciu kvapalín a plynov, z čoho 65 % -ná spotreba je pre filtráciu kvapalín a 35 % -ná pre filtráciu plynov. Niektoré druhy filtrov sa vyznačujú objemnosťou, čo je možné využiť pri filtrácii prachov či aerosolov, ale aj ako tepelno-izolačné alebo zvukovo-izolačné materiály.

2 . TEORETICKÁ ČASŤ

2 . 1 Technológia melt - blown

Melt-blown proces je možné zaradíť do polymer -kladených netkaných textílií. Je to proces , v ktorom sa obyčajne polymer taví pomocou taviaceho extrudéru. Formovanie výsledného vlákna nastáva skrz rad trysiek s malými priemermi. Pomocou prúdu teplého vzduchu sú formované extrémne jemné vlákna s priemerom $1-5\mu\text{m}$, ktoré sú rozfukované vysokou rýchlosťou vzduchu na povrch kolektoru, čím je formovaná pavučina melt-blownu [1].

Obr. 1 Výrobná linka melt-blown



1- taviaci extrudér , 2-5 - rozvod horúceho vzduchu , 3- formovanie vláken ,
4 - zberný bubon , 6 - zvlákňovacia hubica

Pevnosť melt-blown (MB) na jednotku hmoty v porovnaní s inými technologiami je omnoho menšia. Kombináciou MB a NT vyrobené inými

technologiami získame lepšie vlastnosti výslednej NT. Napr.:príkladom použitia MB alebo kombináciou MB a inej NT sú olejové sorbenty , plienky, chirurgické respirátory, ochranné masky, filtračné materiály pre filtráciu vzduchu a kvapalín, separátory pre lítium baterie, ochranný odev, dámske hygienické prostriedky.

Prvé roky po zavedení technologie MB bol používaný POP s IT 35 a s úzkou distribučnou krivkou molekulovej hmotnosti. Od roku 1981 sa používal pop s IT 300.

V dnešnej dobe je používaný polymer s IT 400-800 v granulovanej forme. Hlavnou výhodou vysokého IT je vysoký stupeň pretlačenia a nízka pracovná teplota. Nízka pracovná teplota znižuje energetické náklady, zvýšuje životnosť tavného extrudéra a dovoľuje použiť veľké množstvo rôznych pigmentov a aditív.

Granulovaná forma polyméru nám zaručí to, že sa vyhneme tzv."tepelnej historii polyméru " a táto forma nám umožňuje rovnomerné dispergovanie pigmentov a aditív do roztaveného polyméru [1].

2.1.1 Efekt nízkeho indexu toku polyméru

Na hlavné vlastnosti MB má vplyv niekoľko parametrov medzi ktoré patrí aj IT. Fyzikálne a morfologické zmeny MB sú charakterizované použitím rôzneho IT, stupňom pretlačenia a rýchlosťou vzduchu, ktorý formuje MB vlákno. Zmeny týchto parametrov sa odrážajú v pevnostných vlastnostiach NT, odolnosti voči ohybu, prerazu,pri RTG difrakcii GPC a pevnosti jednotlivého vlákna.

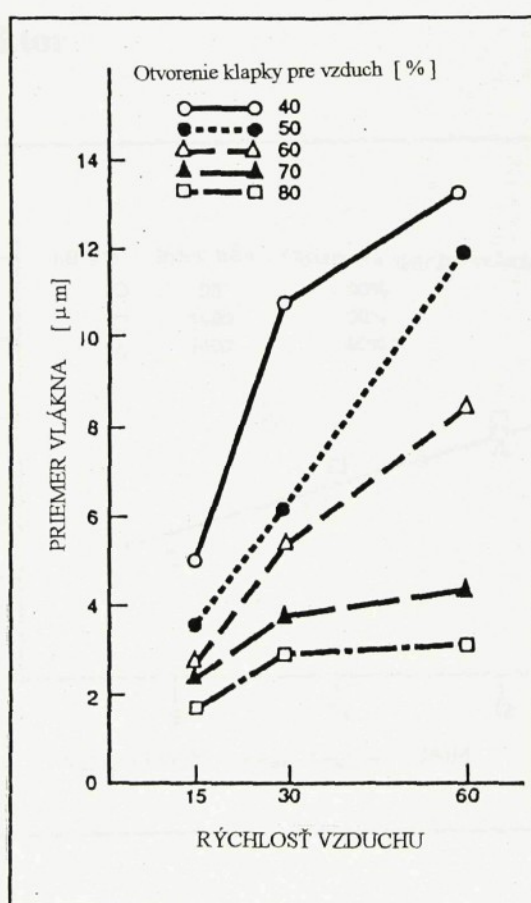
Boli porovnané taveniny polyméru s rôznym IT a pre každú taveninu bola použitá iná teplota v taviacom extrudéri. Tieto zmeny boli prevedené v dôsledku zlepšenia omaku a minimalizácie výrobných chyb (dĺžka a priemer vlakna) [1].

2. 1. 2 Efekt zmeny rýchlosťi vzduchu

Priemer vlákna

Na obr.2 sú znázornené priemerne hodnoty priemeru vláken ku rýchlosťi vzduchu vháňaného do extrudéra pre tri rôzne stupne pretlačenia a päť veľkostí rýchlosťi vháňaného vzduchu. Bol použitý POP s IT 300. Pri každej rýchlosťi vzduchu sa priemer vlákna znižoval so zvyšujúcim sa pomerom vzduchu voči objemu granulátu. Priemer vlákna sa tiež znižoval so znižujúcim sa stupňom pretlačenia , avšak boli zistené menšie rozdiely vláken pri vyššej rýchlosťi vzduchu [1].

Obr . 2 Priemer vláken v závislosti na rýchlosťou vzduchu

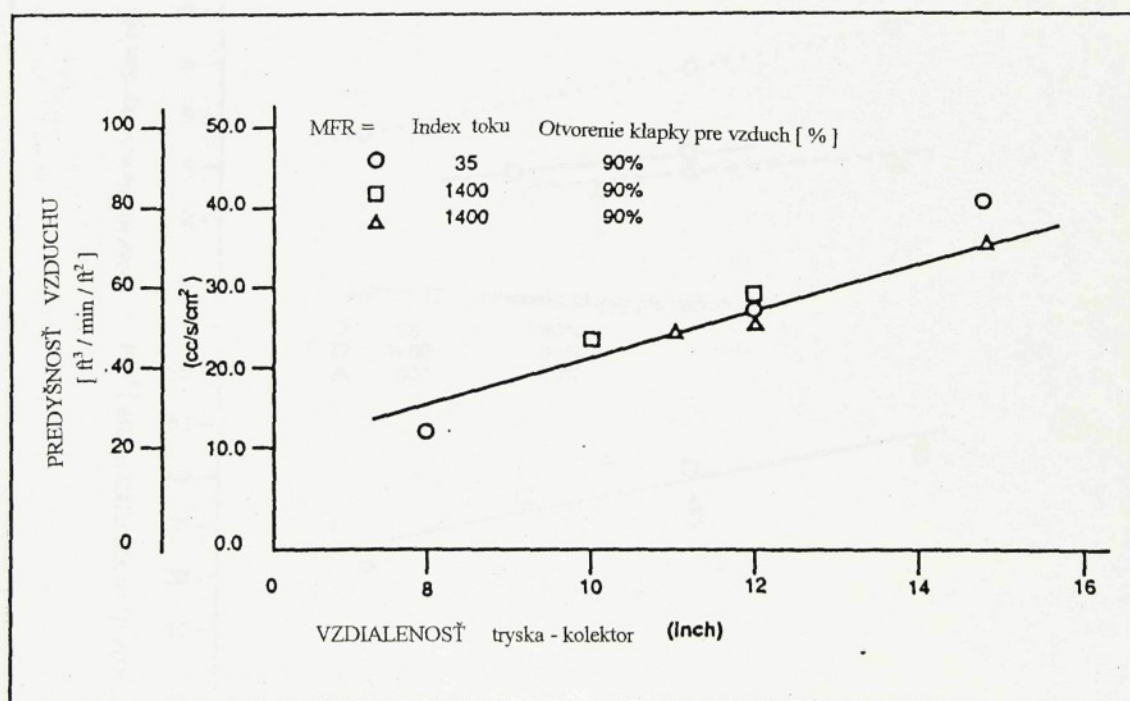


2. 2 Štruktúra melt-blown

MB sú používané ako filtračné média z dôvodu ich jemnej štruktúry mikrodenier. Priemerná hodnota priemeru vlákna je iba niekoľko mikrometrov v porovnaní s priemerom vláken ostatných textilií, kde sa priemer vláken pohybuje od 15-50 μm . Uplatnenie MB ako filter rapidne rastie a zaujíma 1/8 celkovej produkcie materiálov pre výrobu filtrov.

Filtračná prepustnosť vzduchu MB NT vyrobenej z POP pri rôznych podmienkach bola nameraná v závislosti na zmene zdialenosťi zvlákňovania tryska - kolektor, (obr.č.3).

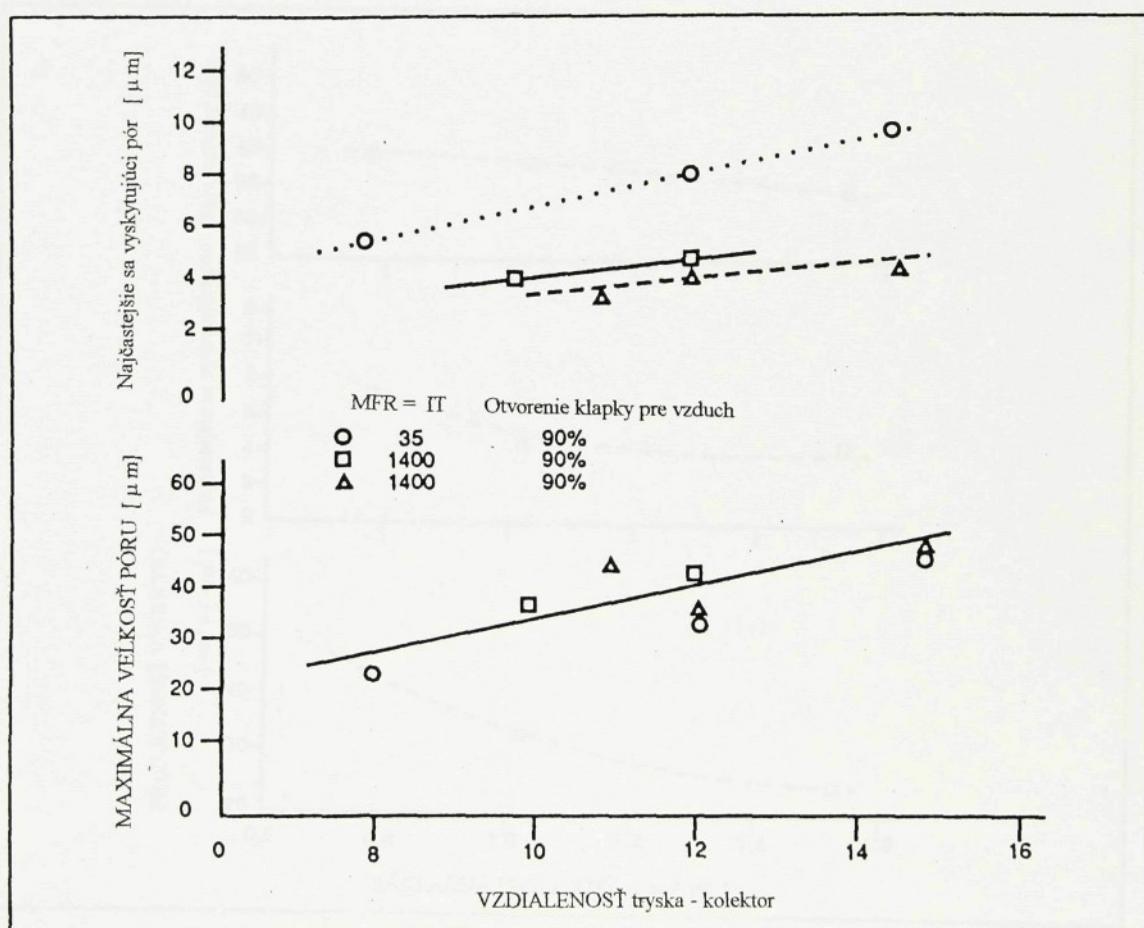
Obr . 3 Závislosť priepustnosti vzduchu na zdialenosťi zvlákňovania tryska-kolektor



Filtračná priepustnosť vzduchu MB NT lineárne rastie s vysokou vzdialenosťou tryska - kolektor . MB vyrobený pri väčších vzdialenosťach tryska - kolektor vykazuje menšiu odolnosť voči prechode vzduchu , čo je dané viacej poréznou štruktúrou. Prepustnosť vzduchu je daná distribučnou krivkou veľkosti pórov danej MB NT .

Na obr. č.4 je znázornená max. veľkosť póru a najviac sa vyskytujúca veľkosť póru distribučnej krivky v závislosti na vzdialosti tryska - kolektor. Podobne tiež najväčší priemer póru sa zväčšuje so vzdialenosťou tryska - kolektor [1].

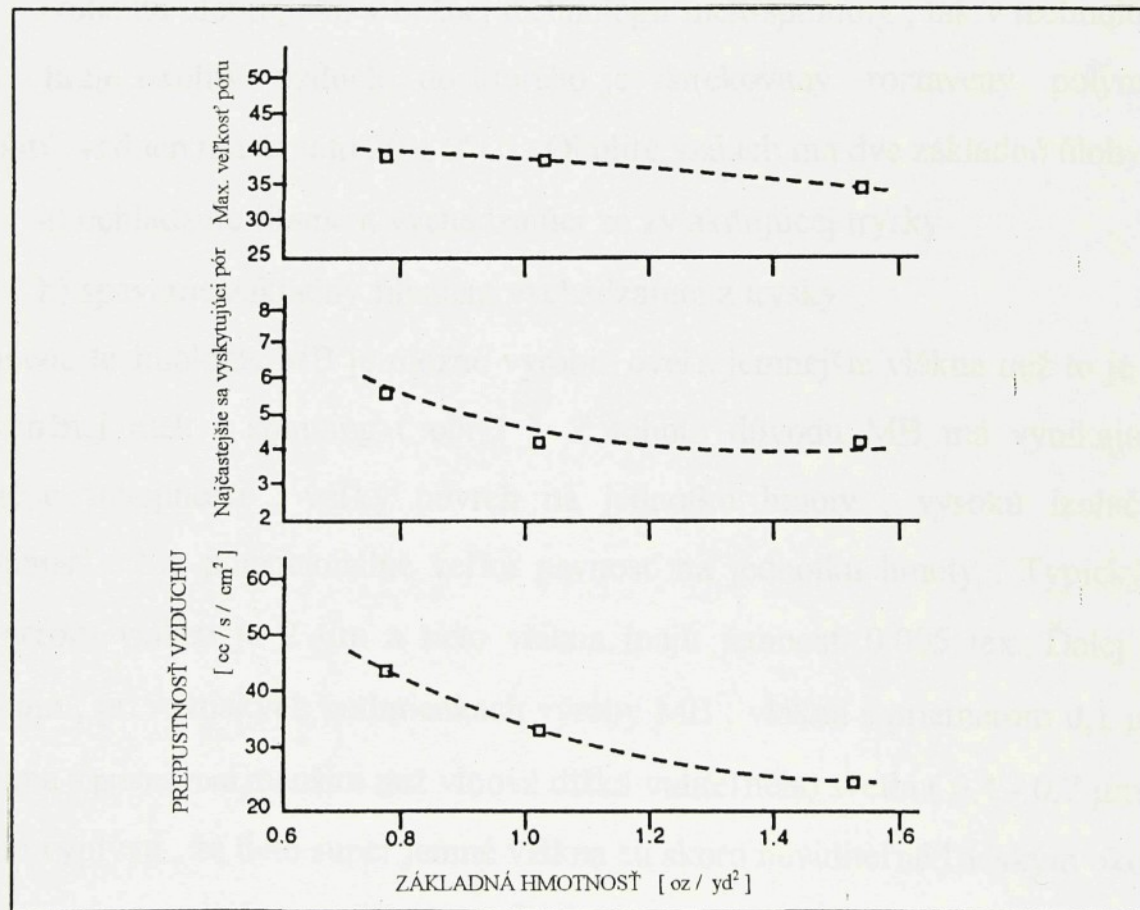
Obr. 4 Distribučná krivka veľkosti pórov na vzdialosť tryska-kolektor



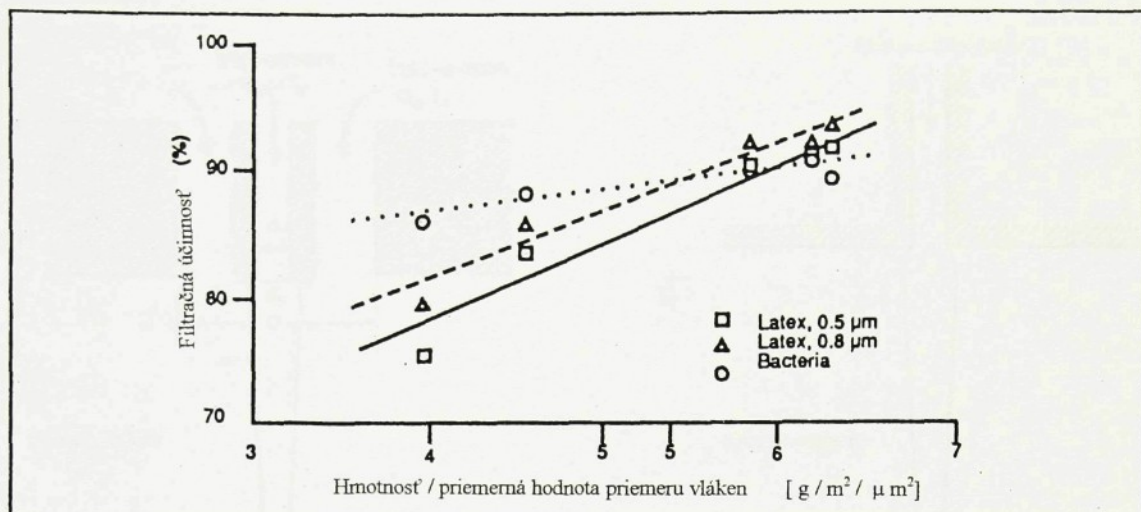
Na obr. č 5 je zobrazený efekt najčastejšie sa vyskytujuceho priemeru póru a najväčšieho priemeru póru na hmotnosti MB NT . Všetky tri parametre(priemer najčastejšie sa vyskytujúceho póru , priemer najväčšieho póru a prechod vzduchu) sa zväčšuje so zvyšujúcou sa hmotnosťou .

Na obr.č.6 je naznačená filtračná účinnosť pre častice 0,5 a 0,8 μm v závislosti na parametre plošnej hmotnosti g/m^2 a priemerneho priemeru vlákna v μm . Filtračná odlučivisť sa zvýši so zvyšujucim sa pomerom W/dp . Táto lineárna závislosť bola už dávno zistená pre filtračné materiály vyrobené "mokrým " a " suchým " spôsobom kde filtračná účinnosť sa zvyšuje so zvyšujúcou sa hmotnosťou NT a znižuje sa priemer vláken .

Obr. 5 Výskyt priemeru póru v závislosti na hmotnosti



Obr. 6 Závislosť účinnosti na plošnej hmotnosti



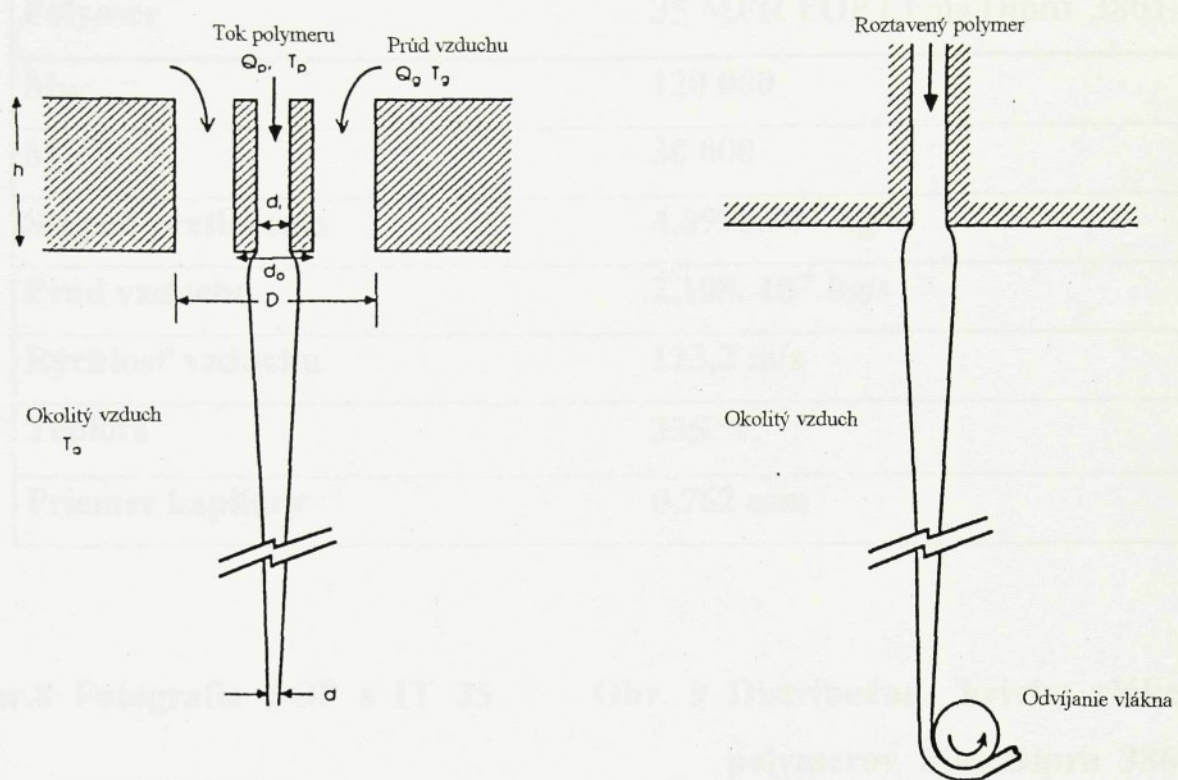
2.3 Zhodnotenie technológie melt - blown

Dôležitú úlohu , ako v bežnej technológii melt-spinning , tak v technológii MB , hraje okolitý vzduch do ktorého je vstrekovaný roztavený polymer. Okolitý vzduch má teplotu $20 \pm 2^{\circ}\text{C}$. Okolitý vzduch má dve základné úlohy :

- a) ochladzuje filament vychádzajúci zo zvláknujúcej trysky
- b) spevňuje základný filament vychádzajúci z trysky

Pomocou technológie MB je možné vyrobiť oveľa jemnejšie vlákna než to je u konvenčnej melt - spinning (obr.7). Z tohto dôvodu MB má vynikajúce filtračné schopnosti , veľký povrch na jednotku hmoty , vysokú izolačnú schopnosť . Má potencionálne veľkú pevnosť na jednotku hmoty . Typickým priemerom vláken je $2 \mu\text{m}$ a tieto vlákna majú jemnosť $0,005 \text{ tex}$. Ďalej sa vyrábajú , pri rovnakých podmienkach výroby MB , vlákna s priemerom $0,1 \mu\text{m}$ a vlákna s priemerom menším než vlnová dĺžka viditeľného svetla ($0,4 - 0,7 \mu\text{m}$). Z toho vyplýva , že tieto super jemné vlákna sú skoro neviditeľné ľudským okom a ani pomocou optického mikroskopu [1].

Obr. 7 Ústie trysiek melt-blown a melt-spinning



Síla vzduchu , ktorá stenčuje vlákno pri výrobe MB , je oveľa menšia ako pri bežnom melt - spinning zvlákňovaní. Napr. pre získanie najmenších vláken čo do priemeru (0,1 μm) vzduch stenčuje vlákno s priemeru 750 μm až do priemeru 0,1 μm za dobu 200 μsek vo vzdialosti 3 cm.

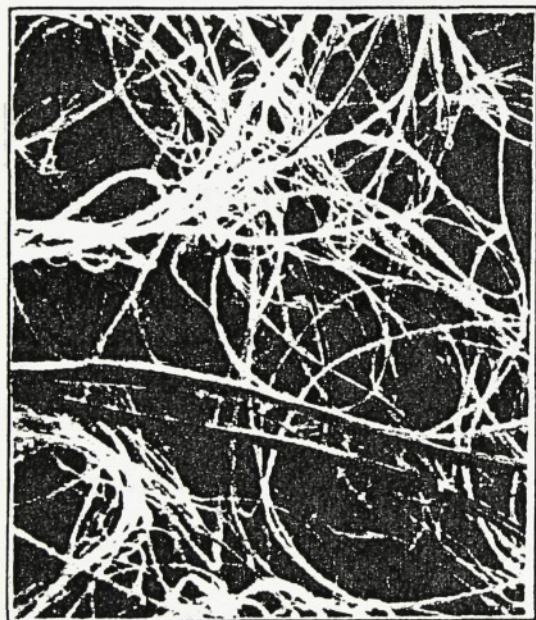
POP je najviac používaný polymer pre výrobu MB . Na obr.č 8 je fotografia získaná pomocou elektronového mikroskopu , kde je vidieť jemné POP vlákna , ktoré boli získané z polymeru s IT 35 vyrobené Fina Co.

Obr. č.9 ukazuje aktuálnu distribúciu aktívnych vláken získaných z polymerov Fina Dipro 3861 s $M_W= 120\ 000$, $M_N= 30\ 000$, teplota polymeru 290 °C , teplota vzduchu 400 °C ,
pomer polymeru $4,1 \cdot 10^{-6}$ kg/s a pomer vzduchu $4,19 \cdot 10^{-4}$ kg/s. Bližšia špecifikácia polymeru a geometrie plochy polymeru je znázornnená v tab. 1.

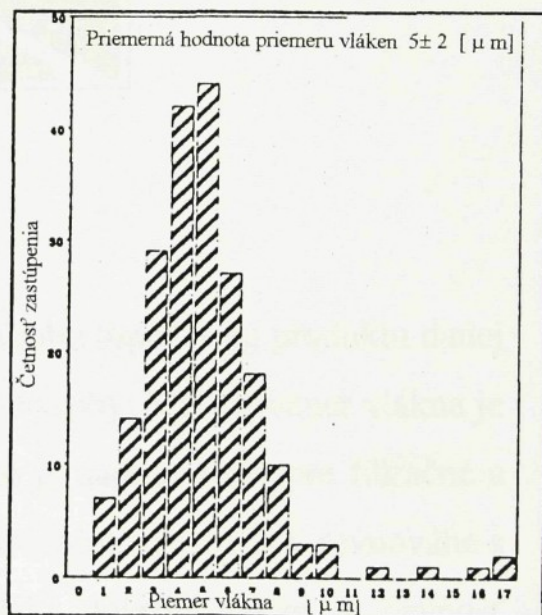
Tabuľka č. 1 Špecifikácia polymeru a geometria plochy

Polymer	35 MFR POP (Fina Dipro 3861)
M_w	120 000
M_n	30 000
Stupeň pretlačenia	$4,0990 \cdot 10^{-6}$ kg/s
Prúd vzduchu	$2,108 \cdot 10^{-4}$ kg/s
Rýchlosť vzduchu	123,2 m/s
Teplota	335 °C
Priemer kapiláry	0,762 mm

Obr.8 Fotografia POP s IT 35



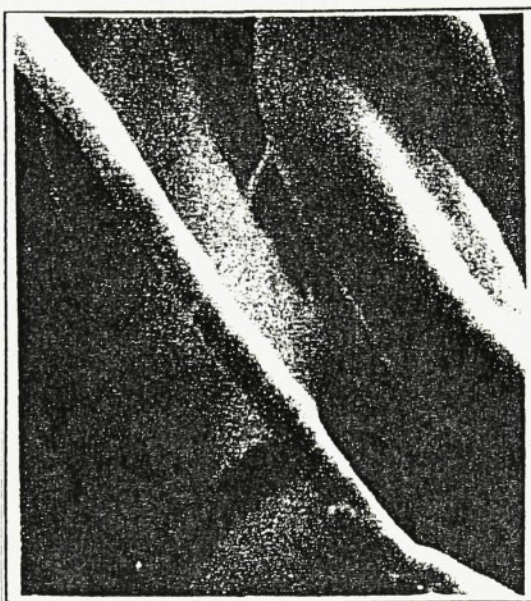
Obr. 9 Distribučná krivka vláken polymerov Fina Dipro 3861



Existujú aj iné druhy polymerov Fina Dipro 3700 s $M_w = 175 000$ a $M_n = 32 000$, kde priemer vlákna je od $6 \pm 3 \mu\text{m}$, zatiaľ čo vyššie uvedený polymer sa pohybuje $5 \pm 2 \mu\text{m}$.

Obr. č.10 ukazuje super jemné vlákno s priemerom 0,1 μm vyrobené z POP s IT 35. Tento obrázok bol získaný pomocou elektronového mikroskopu. Tento priemer 100 nm odpovedá danej dĺžke molekulového reťazca daného polymeru [1].

Obr . 10 Superjemné POP vlákno s IT 35



2. 4 Účinnosť MB procesu

Najekonomickejší systém MB požaduje výrobu aspoň 1 kg produktu danej jemnosti produktu pri konštantných parametroch výroby. Malý priemer vlákna je dôvodom širokého uplatnenia MB produktov ako je napr.použitie pre filtračné a izolačné média. Samozrejme , že ekonomická náročnosť výroby je v rovnováhe s priemerom vlákna a s pomerom vzduchu. Ďalší dôležitý faktor je pevnosť vlákna, ktorá je funkciou " zvlákňovacieho stresu " a zvlákňovacích podmienok. Obr.č.11 znázorňuje závislosť energetickej náročnosti výroby MB na priemere vlákna. Sú označené dve krivky :

- krivka R_1 je daná vzťahom :

$$R_1 = 1/2 m_p \cdot v_f^2 = 8m_p^3 / p_p^2 \cdot \pi^2 \cdot d^4 \quad (1)$$

$$m_p = p_p \cdot (\pi d_0^2 / 4) \cdot v_0 = p_p \cdot (\pi d^2 / 4) \cdot v_f \quad (2)$$

$$v_f = 4 m_p / p_p \pi d^2 \quad (3)$$

kde p_phustota polymeru

v_0rýchlosť zvlákňovania

d_0priemer polymeru

m_phmotnosť polymeru

Krivka R_1 sa pohybuje v priemere vláken 35 - 1 μm .

-krivka R_2 zaznamenáva energiu povrchu novo vzniknutého vlákna. Táto krivka môže byť daná vzťahom

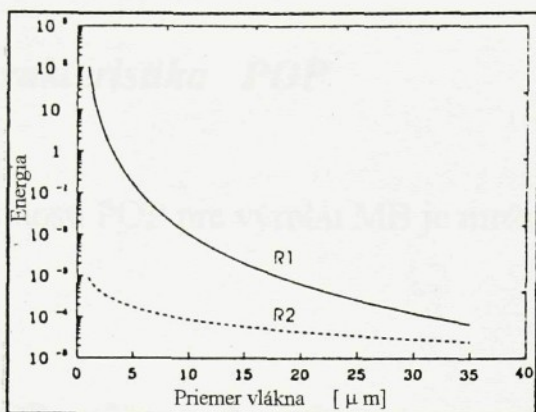
$$R_2 = (v_f) \cdot (\pi d) \cdot (\sigma) = 4 m_p \sigma / p_p d \quad (4)$$

kde σ povrchová energia vlákna.

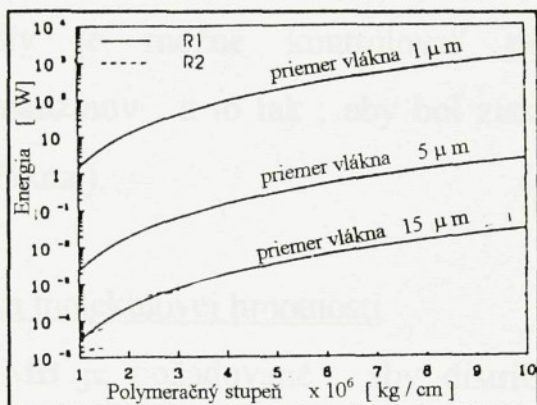
Krivka R_2 je dôležitá iba pre extrémne jemné vlákna.

Rovnica č.3 udáva okamžitú rýchlosť (v_f). Táto rovnica tiež predpovedá, že pre výrobu jemných vláken s priemerom menším než 1 μm musí byť použitý polymér s veľmi nízkym IT, alebo vlákno musí byť zvlákňované rýchlosťou 500 m/s pri teplote vzduchu 400 °C .

Obr . 11 Závislosť priemeru vlákna na energetickej náročnosti



Obr. 12 Efekt vplyvu energie na vlákna s priemerom 15, 5, 1 μm .



Obr.č.12 popisuje efekt , ktorý ma vplyv na energiu R_1 (energia hmoty) a R_2 (energia povrchu). Graf je zostrojený iba pre priemery vláken 15 , 5 , 1 μm .

Z grafov je možné vyčítať dva základné závery :

1) pre dané podmienky vstupného vzduchu , ktoré zapričinujú získanie vláken s veľmi malými priemermi a / alebo vyšší stupeň pretlačenia polymeru , je energeticky nemožné.

2) s existujúcou zvlákňovacou technológiou je zvlákňovacia účinnosť iba okolo 1 % .

S touto veľmi nízkou účinnosťou existuje mnoho zlepšujúcich návrhov pre zlepšenie danej technológie. Ďalšie podrobnosti sú rozpracované v literatúre [1].

2.5 Aplikácia MB

2. 5. 1 Charakteristika POP

Dôležité vlastnosti POP pre výrobu MB je možné zhrnúť následovne :

1 / Viskozita

-viskozita POP môže byť zisťovaná pomocou chemickej degradácie (použitím oxidu alebo peroxidu behom tvorby vlákna mechanickej degradácie a tepelnej degradácie). Celkovo tavenina s vysokou viskozitou (nízky IT) a zisťovanie viskozity je možné kontrolovať pomocou všetkých troch degradačných mechanizmov , a to tak , aby bol získany požadovaný výsledný produkt (priemer vlákna).

2 / distribučná krivka molekulovej hmotnosti

-pre výrobu MB je požadované , aby distribučná krivka molekulovej hmotnosti bola čo najužšia , a to preto , aby bolo možné vyrobiť rovnako jemné vlákna . Nová katalitická technológia umožňuje vyrobiť POP s ultra vysokým IT a s veľmi úzkou distribučnou krivkou molekulovej hmotnosti

3 / relatívne vysoký bod tania

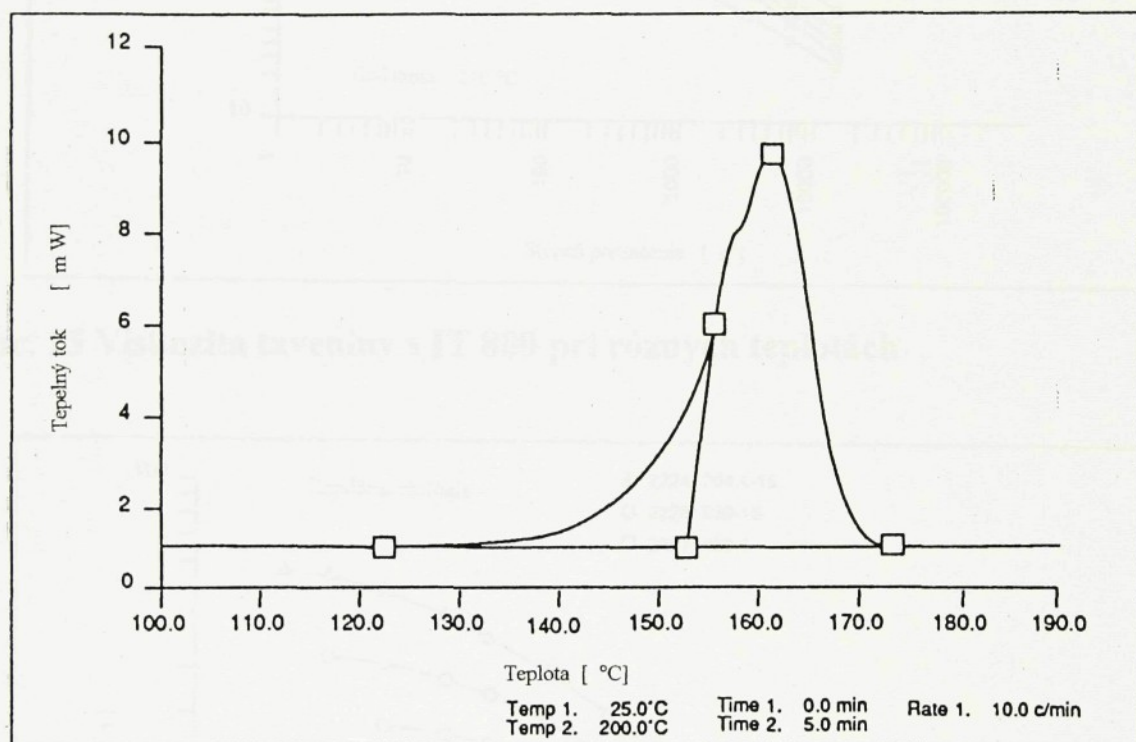
-typická krivka tania POP pre výrobu MB je zobrazená na obr.13 . Bod tania je dosť vysoký pre veľa aplikácií , a tak chovanie POP v roztavenom stave je také , že je možné ho použiť ako pojivový materiál.

4 / schopnosť vytvorenia veľmi jemných vláken

-POP môže byť zvlákňovaný (vytahovaný) až do veľmi jemných vláken , ak viskozita taveniny je dostatočne nízka a distribučná krivka molekulovej

hmotnosti je dostatočne úzka . Nízka viskozita je potrebná z dôvodu , že vlákno je vytahované pomocou vzduchu s vysokou rýchlosťou a nie za pomoci mechanického vytahovania . Úzka distribučná krvka molekulovej hmotnosti znižuje elasticitu taveniny a pevnosť taveniny , a preto je možné získať vlákno s veľmi malým priemerom bez toho aby bola použitá väčšia sila pri zvlákňovaní [1].

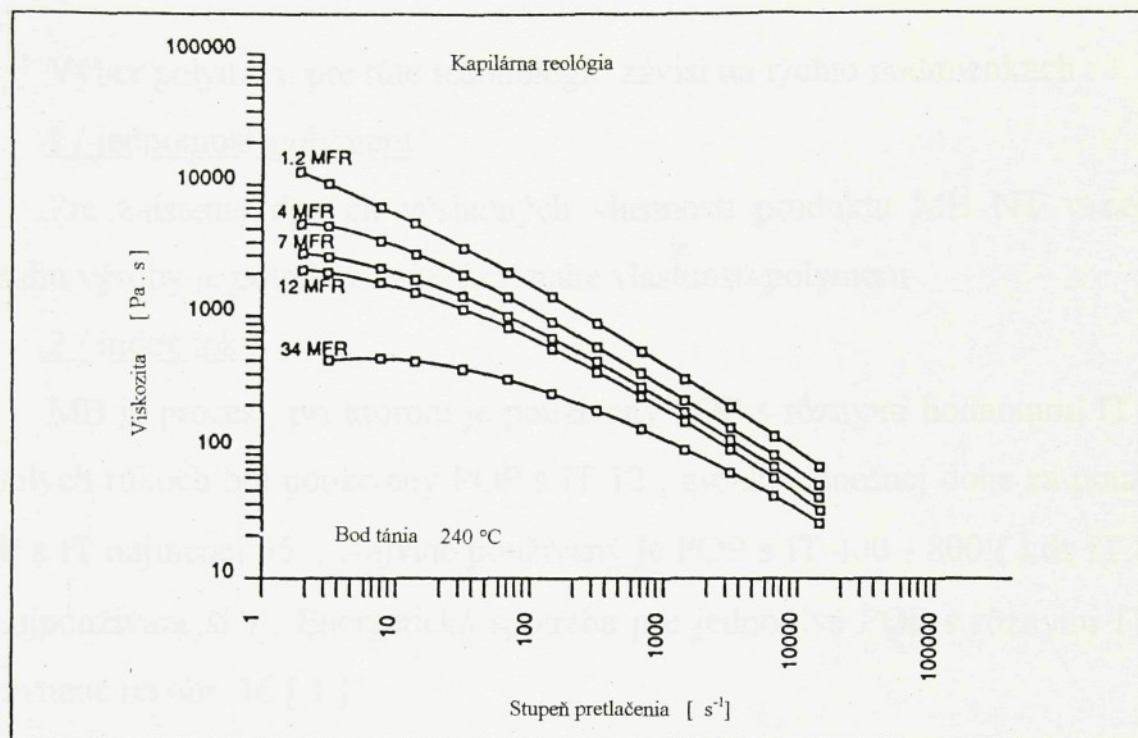
Obr. 13 Krivka tania POP pre výrobu melt-blown



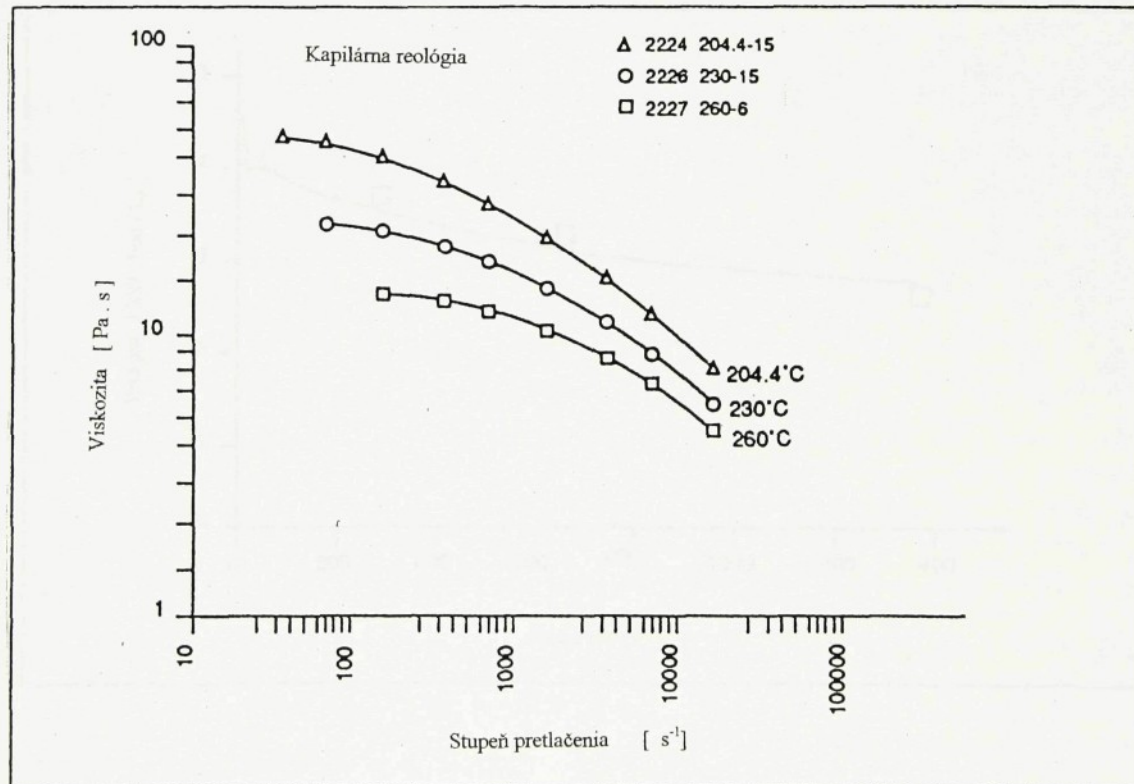
2. 5. 2 Viskozita taveniny POP

Pre výrobu MB je úspešne používaná tavenina POP s IT od 12 - 1400 . Viskozita taveniny je funkciou molekulovej hmotnosti a teploty tavenia . Obr.14 porovnáva viskozitu taveniny so širokým rozsahom IT , ktorý je meraný pomocou viskozimetra . Obr.15 popisuje viskozitu taveniny s IT 800 pri rôznych teplotách .

Obr.14 Visozita taveniny s rozsahom IT



Obr. 15 Viskozita taveniny s IT 800 pri rôznych teplotách



2. 5. 3 Výber polymeru pre MB

Výber polymeru pre túto technológiu závisí na týchto podmienkach :

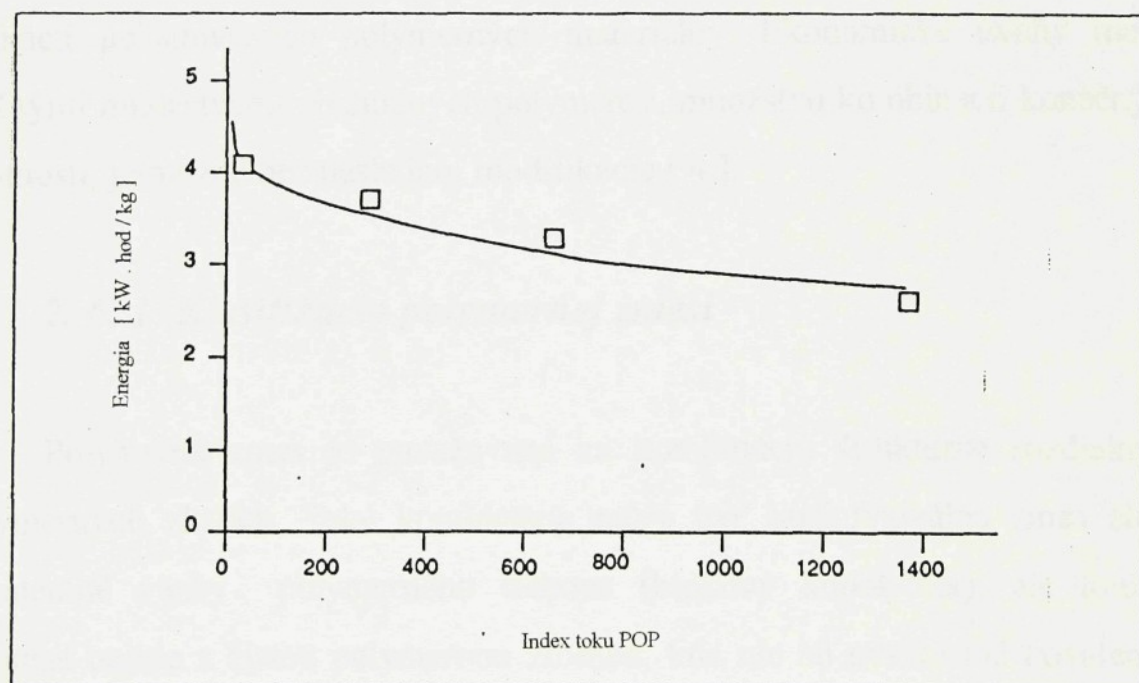
1 / jednotnosť polymeru

Pre zaistenie daných výsledných vlastností produktu MB NT v celom rozsahu výroby je potrebné zaistiť rovnaké vlastnosti polymeru .

2 / index toku

MB je proces , pri ktorom je používaný POP s rôznymi hodnotami IT . V minulých rokoch bol používaný POP s IT 12 , avšak v dnešnej dobe sa používa POP s IT najmenej 35 . Najviac používaný je POP s IT 400 - 800 (kde IT 800 je najpoužívanejší) . Energetická spotreba pre jednotlivé POP s rôznymi IT je porovnané na obr. 16 [1].

Obr. 16 Energetická spotreba POP



2. 5. 4 Distribučná krvka molekulovej hmotnosti POP [MWD]

Čím je užšia MWD , tým je možné vyrobiť jemnejšie vlákno . Niektoré polymery s vysokým IT obsahuje tzv. degradačné aditiva , ktoré ďalej znižujú viskozitu a zužujú MWD v extrudéri pri MB procese . Výsledkom je extrémne úzka MWD s výbornou schopnosťou zvlákňovania [1].

2. 6 Polymerné zmesi

V 70-tých rokoch, technológia týkajúca sa polymerných zmesí dosahovala nápadnú pozíciu ako dôležitá oblasť výzkumu a vývoja v polymernej vede. Najzaujimavejšie na polymerných zmesiach je smerovanie do oblasti, ktorá je potrebná pre nespočet špecifických profilových vlastností, pre rozmanitosť aplikácií požadovaných polymerných materiálov. Ekonomicke úvahy medzi možnými množstvami obchodných polymerov, množstvo kombinácií konečných vlastností, je možné bez následnej modifikácie [4].

2. 6. 1 Klasifikácia polymernej zmesi

Polymerná zmes je považovaná za kombináciu štrukturne rozdielnych polymerných zložiek. Také kombinácie môže byť buď fyzikálna zmes alebo kovalentné väzby polymerného reťazca (blokový kopolymer), ale toto je mienené najme s čistou polymernou zmesou, kde nie sú uvažované kovalentné väzby [4].

2. 6. 2 Termodynamické a fázové chovanie polymernej zmesi

Veľký dôraz sa kladie na polymerné zmesové kombinácie existujúce ako fázovo oddelený (separovaný) systém s narastajúcim množstvom miesiteľnej polymernej zmesi. Jedným z prvých zistení o polymernej zmesi je zoznam 12-tich miesiteľných párov, z ktorých niektoré boli kopolyméry zmiešané v rozdielnych pomeroch. Nedávne podobné prieskumy o miesení polymerných systémov obsahovali približne 180 párov, kde čisté polyméry blokového a roubovaného kopolyméru prenikaly do polymerných sietí.

Fáza chovania polymerných zmesí je odlišná od nízkomolekulárnych komponentov, v ktorých narastajúca teplota znižuje ich miesiteľnosť. Toto bolo zistené použitím termodynamickej stavovej rovnice pre polymerné zmesi, čo bolo preskúšané experimentálne. Termodynamické kritéria pre miesiteľnosť predpokladajú negativnu voľnú energiu miesenia

$\Delta G < 0$, to je

$$\Delta G_m = \Delta H_m - T \Delta S_m \quad (5)$$

kde ΔH_m enthalpia miesenia

ΔS_m enthropia miesenia

Pre vysokomolekulárne polyméry je ΔS_m zanedbateľná, takže negatívna enthalpia miesenia odpovedá zmiesiteľnosti. Podmienka existuje, ak fáza separácie nastane pri $\Delta G < 0$, takže vzájomný vzťah je potrebný ale nie dôležitá podmienka pre miesiteľnosť.

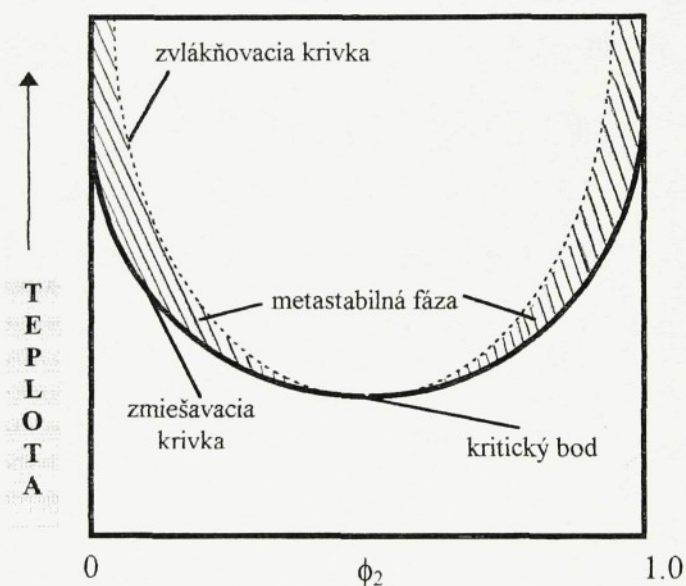
Potrebnosť a dôležitosť termodynamického požiadavku pre miesiteľnosť je

$$(\partial^2 \Delta G_m / \partial \phi_2^2)_{P,T} > 0 \quad (6)$$

kde ϕ_2 intenzita frakcie komponentu 2

Podstata fáze chovania polymernej zmesi je opísana na obr. 17 . V grafe sú dôležité oblasti, ktoré definujú kritické chovanie zmesi. Zvlákňovacia krivka definuje stav, kde nastáva samovoľná fáza separácie. Tento proces fáze separácie je nazývaný dekomponizácia. Zvlákňovacia krivka je definovaná rovnicou (6).

Obr. č.17 Chovanie polymernej zmesi



Zmiešovacia krvka definuje ďalšie oblasti separačnej fáze, opísanej ako nárast tvorby kryštalických zárodkov. Medzi týmito dvoma krvkami je veľký nárast kryštalizácie a táto oblasť predstavuje teplotu a obsah komponentu 2.

$$(\Delta\mu_1 = \Delta\mu_1') \quad (7)$$

$$(\Delta\mu_2 = \Delta\mu_2') \quad (8)$$

Chemické potenciály ($\Delta\mu$) každého komponentu v každej fáze sú rovnaké.

Kritický bod v grafe je v prenutí zmiešovacej a zvlákňovacej krvky a je definovaný takto [4]:

$$(\partial^2 \Delta G_m / \partial \phi_2^3)_{P,T} = 0 \quad (9)$$

2. 6. 3 Charakteristika polymernej zmesi

Najpodstatnejšia charakteristika polymernej zmesi je fázové chovanie. Profil vlastností kompozitu kriticky závisí na tom, ktoré molekuly polymeru sú separované vo fáze, zmiešané s dostatočným teplotným stupňom, vystavené chovaniu samotnej fáze alebo zmiešaniu. V poradí určenia postupu zmiešavania, zmienenými termodynamickými kritériami, sa ľahko zhoduje experimentálne kritérium, pokiaľ partikulárny systém vykazuje nízku kritickú teplotu.

Prakticky je zmiešavanie definované ako úroveň molekulárneho miešania prenechaním makroskopických vlastností zmesi naznačujúc chovanie jednotlivej fáze. Prvotná vlastnosť je **teplota skelného prechodu (T_g)**. Zmes má jednotnú T_g všeobecne určenú zmiešaním jednotlivých zložiek T_g . V prípade silnej špecifickej interakcie, môže byť T_g zmesi vyššia než ostatných komponentov. Zmes, ktorá je nezmiesiteľná si zachová T_g rovnaké. T_g je vlastnosť polymeru, ktorá závisí na viskozite, chovaní teplotného modulu, pomeru kryštalizácie a tečenia materiálu, tuhosti a profilových vlastností zmišovaných komponentov, môže byť dosť rozdielny, lišiť sa od vlastností nezmiesiteľných komponentov.

Metoda merania teploty T_g je najbežnejšia na charakterizáciu chovania fáze polymernej zmesi. Medzi tieto metody patria dynamicko-mechanické, kalorimetrické, dielektrické a dilatometrické metody. Zrážiacia technika je používaná na definovanie fyzikálnych vlastností, špecificky popisuje reťazové komformácie a morfológiu zmesi.

Mikroskopické techniky (elektronový mikroskop a transmisný mikroskop) sú používané pre vysvetlenie štruktúry fázovo oddelených polymerných zmesí [4].

2. 6. 4 Vlastnosti polymernej zmesi

Výhoda zmesovania polymernej zmesi spočíva v mechanickej zlúčiteľnosti časti konštituentov, teda dosiahnutie rovnováhy v konečných vlastnostiach. Vo väčšine prípadoch náhodná kombinácia polymérov povoľuje zmesovanie jednotlivých fázy s horšími vlastnostami, ktoré zapričinujú adheziu medzi fázami. Blokové a roubované kopolyméry poskytujú výhody a vlastnosti vďaka koncovým skupinám, kde kovalentné vazby spojujú oddelené fáze adheziou. Jednou z dôležitých výhodných vlastností odvodených z frakcie separácie v zmesi je účinok sily. Fáza separácie je tiež určená požadovanými vlastnostami kombinácie materiálov a mikroštruktúrnych znakov fázovo separovaných zmesí. Optimálna schopnosť účinku je dosiahnutá kontrolou vlastností, veľkosťou častíc kaučukovej fáze, roubovaného obsahu a kaučukovej fáze hustoty priečnych väzieb.

Pre zmesi obsahujúce kryštalické komponenty je fáza chovania určená efektom bodu tavenia a kryštalizačnej kinetiky.

Pre miesiteľné zmesi je kryštalizácia hodnotená buď zvýšením alebo poklesom závislosti na T_g kryštalického polyméru - zvyšuje či znižuje, podľa vlastností. Toto chovanie je predpovedané sférolytickým rastom hodnotenia rovnice, ktorá obsahuje T_g ako premennú.

Zmesi nemiesiteľných polymérov a fáza separácie blokového a roubového kopolyméru sú väčšinou vystavované špecifickým aditívnym oblastiam [4].

2. 6. 5 Komerčné polymerné zmesi

Najväčší záujem akademickej a priemyselnej oblasti sa upriamil na polymerné zmesi, na ktoré je kladený požiadavok súvisiaci so stretovými a ukončovacími možnostiami modifikácie. Profil vlastností nemonodifikovaných komerčných polymérov nemôže obsiahnúť všetko z aplikácií našich požiadavkov, takže ďalšia modifikácia je potrebná.

2. 6. 5. 1 Miesiteľné zmesi

Prvá komerčná miesiteľná zmes sa objavila v roku 1940 a obsahovala PVC a nitrilový kaučuk (butadienakrylonitril kopolymér). Tieto zmesi sa ešte stále využívajú v kabeloch, obuvnických materiáloch, struny, hadice atď..

2. 6. 5. 2 Nemiesiteľné zmesi

Základ komerčného využitia polymernej zmesi je pridanie elastmeru do tuhých polymérov z dôvodu získania nových vlastností polyméru. Elastomerné zmesi sú využívané na získanie špecifických vlastností polymérov. Tieto sú potom využívané napr. za účelom zníženia predyšnosti vzduchu, zlepšení tepelno-oxidačnej a ozónovej rezistancie (odporu) [4].

2. 7 Vymedzenie pojmu filtrácie

Filtráciu je možné v širšom slova zmysle definovať ako proces čiastočného oddelovania tuhých látok od kvapalnej alebo plynnej fázy pomocou filtračnej textílie . Cieľom plynnej filtriace je najčastejšie čistenie vzduchu alebo

regenerácie vyrobeného produktu . Dost' často sa odidve požiadavky kombinujú . Cieľom kvapalnej filtrácie je regenerácia produkcie a vyčistenie filtrátu . Stupeň účinnosti filtrácie musí prebiehať čo najrýchlejšie a filtračné médium musí vydržať čo najdlhšie .

Pojem vysokoefektívnej filtrácie nie je doposiaľ jednoznačne definovaný . Obvykle je tento proces pokladaný za vysokoefektívny ak je efektivnosť charakterizovaná filtračnou účinnosťou $E = 99\% [5]$.

2. 7. 1 Filtračné vlastnosti

Najviac študovaná je filtrácia vláknennymi filrami ako po stránke teoretickej tak po stránka experimentálnej . Pre filtráciu sú podstatné tri objekty : dispergové častice , disperzné prostredie a porézna látka .

Jednotlivé častice a ich súbory sú charakterizované týmito veličinami : veľkosťou častic , tvarom častíc , hustotou častíc a elektrickým nábojom .

Disperzné prostredie je charakterizované : rýchlosťou prúdenia , hustotou , teplotou a tlakom . Účinnosť filtra s klesajúcim tlakom rastie .

Predmetom skúmania diplomovej práce je porézna látka, filter [2].

2.7.2 Filtračné vlastnosti filtrov

Porézna látka je charakterizovaná svojimi geometrickými rozmermi : filtračnou plochou, hrubkou , priemerom vláken , poréznosťou filtra , elektrickým nábojom a radou ďalších veličín .

Filtračné vlastnosti sú určené predovšetkým veľkosťou pórov a priepustnosťou :

-veľkosť póru je daná spôsobom spracovania a priemerom vláken

-priepustnosť je vyjadrená prietokom média jednotkou plochy textílie za jednu sekundu

Ako ďalšie vlastnosti je možné vymenovať :

-pevnosť textílie

-ťažnosť textílie

-chemická odolnosť

-odolnosť voči baktériam a pliesňam

-odolnosť voči teplote

-životnosť [2]

2. 7. 3 Filtračné materiály

Filtračné materiály je možné klasifikovať podľa rôznych kriterií , charakteristik a parametrov , ktoré popisujú filtračný proces . Jedno z najdôležitejších je klasifikácia podľa makroštruktúrnych vlastností poréznej látky použitej ako filter . Podľa tohto kriteria je možné filtračné materiály rozdeliť na:

- vlákenné filtre

Sú z textilných vláken , ktoré sú vyrábané pomocou procesu tkania alebo pletenia . Iked' niektoré hĺbkove filtrácie používajú vlákenné filtre , väčšina prachu nevnikne do materiálu , ale je zachytená na povrchu . Vlákenné filtre je možné obvykle čistiť , ak ich odpor voči prúdeniu vzduchu je relatívne vysoký . Jemné filtre nemôžu byť čistené , musia byť znehodnotené . Ich odpor voči vzduchu je nízky .

- zrnité filtre

Zrnité filtre obsahujú usadené hruboizomertické častice , ktoré hrajú veľkú úlohu pri filtrácii .

- membránové filtre

Sú vyrábané z perforovaného materiálu alebo vysoko kompaktného jemného materiálu . Obyčajne hrúbka tohto materiálu je niekoľko málo mikrometrov a je na princípe povrchovej filtrácie [3].

Ďalšou dôležitou vlastnosťou a kriteriom pre klasifikáciu filtračných materiálov je ich odolnosť voči možnému agresívnomu pôsobeniu separovaného disperzného systemu . V súčasnej dobe sú vo všetkých vyspelých krajinách prevážne používané pre vysokoeffektívnu filtráciu nie syntetické materiály ale materiály z ultratenkých sklenených vláken (priemer 0,1 - 1,5 μm) . Tieto typy filtračných materiálov sú obyčajne nielen vysokoeffektívne z hľadiska filtračnej účinnosti ale tiež odolné voči účinkom vlhkosti , kyselín , zásad a rozpušťadiel . Rovnako aj z hľadiska tepelnej odolnosti sú tieto materiály stabilné až do teplôt 500 ° C a v niektorých prípadoch až do teplôt 800 ° C [5].

2. 7. 4 Základné charakteristiky filtrov a filtrácie

Ako základné charakteristiky filtrov sú pokladané efektívnosť (účinnosť) a tlakový spád .

Efektívnosť filtra je definovaná rovnicou

$$E = 1 - G_2 / G_1 \quad (10)$$

kde G_1 a G_2 sú hmotnostné prúdy [kg / m² s] disperzného podielu alebo fázy pred filtrom a za filtrom [5].

Účinnosť nezávisí na veľkosti filtračnej plochy , ale na hrúbke filtra . Witzmann [2] zistil , že s hrúbkou filtra exponenciálne klesá prienik P definovaný vzťhom

$$P = G_2 / G_1 \quad (11)$$

Z definícii [1] a [2] vyplýva vzťah

$$E + P = 1 \quad (12)$$

Ďalšie vlastnosti filtra , ktoré má vplyv na účinnosť je priemer vláken . Tiež klesá účinnosť s rastúcou poréznosťou filtra .

Druhá z hlavných charakteristik popisujúcich vlastnosti filtrácie je **tlakový spád filtra dp** definovaný rovnicou

$$dp = p_1 - p_2 \quad (13)$$

kde p_1 a p_2 sú tlaky pred filtrom a za filtrom . Veličina dp je hybnou silou . Pri malých objemových rýchlosťach prietoku Q [m^3 / s] je vzťah medzi dp a Q lineárny , takže platí

$$dp = Q \cdot R \quad (14)$$

kde veličina R [$Pa \cdot s / m^3$] je odpor filtra .

Poréznosť vlákenných filtrov býva obyčajne vyšší než 90 % . Avšak so zvyšujúcou sa poréznosťou klesá účinnosť filtra [5].

Tlakový spád je veličina rovnako dôležitá ako účinnosť filtra v niektorých prípadoch ešte dôležitejší, pretože z technického hľadiska nie je ľahké pripraviť filter, ktorého účinnosť je prakticky 100 %, ale tlakový spád je potom tak veľký, že pre praktické použitie je takýto filter skoro bezcenný. Našim cieľom je preto vždy určiť štruktúru resp. pripraviť filter, ktorého tlakový spád je minimálny a účinnosť vysoká [2].

2. 7. 5. Filtračné mechanizmy

Bolo zistené, že vo filtrácii vlákennymi filtrami pôsobí mnoho mechanizmov. Doteraz sú známe tieto [5] :

- difúzne usadzovanie častíc

V dôsledku Brownovho pohybu nesplýva trajektória častíc s prúdnicami plynu, častice difundujú z prúdu plynu k jednotlivým vláknam a usadzujú sa na nich. S klesajúcou veľkosťou častíc intenzita pohybu účinnosti difúzneho usadzovania rastie.

- priama intercepcia (zachytávanie)

Častica je už zachytená len čo sa priblíži k povrchu vlákna na vzdialenosť rovnakú s jej polomerom .

- gravitačné usadzovanie častíc

Jednotlivé častice majú určitú sedimentačnú rýchlosť podmienenú účinkami gravitačného poľa . V dôsledku toho sa trajektórie častíc odchyľujú od prúdnic plynu a častice sa môžu v dôsledku tohto odchýlenia usadiť na vlákne .

- elektrostatické usadzovanie častíc

Jednotlivé čästice a vlákna filtru majú určitý elektrický náboj . V dôsledku sín pôsobiacich medzi týmito nábojmi (Coulombové , indukčné a iné sily) môže tiež dôjsť k usadeniu čästíc na vlákna .

- usadzovanie pod vplyvom molekulových sín

Pri veľmi malých vzdialenosciach čästica - vlákno môže mať určitý vplyv na usadzovanie Van der Waalsové molekulové sily .

- zotrvačné usadzovanie čästíc

V dôsledku svojej zotrvačnosti jednotlivé čästice sú " vystrelené " proti vláknu a usadzujú sa na ňom . Intenzita tohto mechanizmu rastie s rastúcou veľkosťou čästíc a s rýchlosťou plynu [5] .

2. 8 Povrch filtra a hĺbka filtrácie

Filtre sú svojím chovaním podobné sítam a sietiam. Ikeda' filtre a síta majú podobný účel použitia , ich metódy práce sú rozdielne.

Jemné filtre sú tvorené vláknami v otvorenej trojdimenzionálnej sieti. Body, kde sa dotýka vlákno - vlákna , sú nazývané kontakty vlákna . Jemné filtre môžu mať značnú pevnosť. Otvorená štruktúra filtrov , vysoká priepustnosť jemných filtrov , tým je myšlená priepustnosť vzduchu a nízky odpor prúdu vzduchu [3].

Dnes sa filtračný proces delí na dve fázy . V prvej fáze sa čästice usadzujú v čistom filtere určitej štruktúry. V tejto fáze predpokladáme v dôsledku usadenia zmenu štruktúry . Ide o stacionárny dej , efektívnosť a tlakový spád nezávisí na čase a sú určené iba štruktúrou poréznej látky , vlastnosťami čästíc a

parametrami prúdiaceho média . Túto fázu filtračného procesu označujeme ako “statika filtrácie ” [2].

Proces filtrácie je zložitejší . V dôsledku usadzovania jednotlivých častíc dochádza vo filtro ku štruktúrnym zmenám , efektívnosť a tlakový spád sa behom filtračného procesu mení , filter sa ” zanáša ” . Vo filtro dochádza k tzv. ”sekundárnym javom ”, usadzovanie častíc jednej na druhú . Túto fázu filtračného procesu je možné označiť ako ” kinetika filtrácie ” . Kinetika filtrácie študuje efektívnosť zrážok častíc s vláknami a v súvislosti s tým adhéziu častíc k vláknam, pochody na povrchu vlaken, zmeny efektívnosti a tlakového spádu behom filtračného procesu a zanášanie filtrov [2].

2. 8. 1 Zanášanie filtrov

Zmena tlakového spádu v dôsledku zanášania je závislá na týchto faktoroch :

1 / Fáza častíc

Pri filtriácii kvapalných aerosolov sa tlakový spád mení menej než pri filtriácii pevných častíc , čo súvisí s odlišným chovaním častíc po ich kontakte s vláknami.

2 / Veľkosť častíc

Obvykle jemnejšie častice spôsobujú vyšší tlakový spád než častice väčšie. Dôležitú úlohu ti má ” hĺbka prieniku ” častíc do filtra.

3 / Štruktúra filtra

Štruktúra filtra v niektorých prípadoch rozhoduje, či sa častice usadujú vo vnútri filtro alebo na jeho povrchu , čo sa prejaví odlišným spôsobom pri zmene tlakového spádu.

4 / Množstvo zahyteného aerosolu

Množstvo zahyteného aerosolu sa vzťahuje na plošnú jednotku filtra a je meraná závislosť $dp = f(z)$,

$$z = m / A \quad (15)$$

kde m hmota respektíve váha aerosolu usadeného na filtere ,

A plocha filtra .

V tejto závislosti $dp = f(z)$, ktorú nazývame "zanášacia charakteristika" filtra je možné rozlísiť dve oblasti filtra :

- v prvej oblasti je charakter zmeny tlakového spádu rôzny (tlakový spád sa buď nemení alebo prudko rastie).
- v druhej oblasti tlakový spád so zanášaním lineárne rastie .

Zanášacia charakteristika sa v niektorých prípadoch vyznačuje určitými "prechodovými javmi". " Prechodové javy " sa u niektorých druhov filtrov neobjavujú a zanášacia charakteristika je od nulovej hodnoty zanášania lineárna (u niektorých membránových filtrov) [2].

2. 9 Aplikácia filtrov

Nečistoty vo vzduchu sú veľmi často vyprodukované pri procese výroby. Zachytením nečistôt na filter je možné ich identifikovať a kvalifikovať . Filter môže byť použitý pre čistenie vzduchu a plynov , čiastočne môže byť materiál k filtrovaniu substancia , ktorá má škodlivý charakter avšak je dostatočne upravený (vyčistený) a to tak , aby tento filter poskytoval taký vzduch , ktorý nebude

poškodzovať ľudský organizmus. Čistenie a obnovenie schopnosti filtrácie u filtrov sa javí ako veľmi dôležité [3] .

V súčasnosti sa MB používa pre následujúce účely :

- filtračné média
- sanitárne výrobky
- respirátory
- olejové sorbenty
- hygienické potreby
- tepelne taviace sa adheziva
- špeciálne materiály pre elektroniku
- špeciálne vlákna
- a ďalšie

2. 10 Zhrnutie teoretickej časti

V teoretickej časti bola spracovaná odborná literatúra, ktorá tvorila podkladový materiál pre experimentálnu časť.

Spracované boli tri okruhy problematiky : technológia melt-blown a jej použitie, zmesovanie polymerov a ich použitie a filter a filtrácia s ich použitím.

Technológia melt-blown je špecializovaná na výrobu superjemných vláken. Prevážne je používaný POP (98 %) a v malom množstve PES (1%). Svojou štruktúrou je veľmi atraktívnym materiálom pre jeho ďalšie použitie.

Zmesovaním sa dá dosiahnúť výroba materiálu s požadovanými vlastnosťami. V tejto oblasti je veľké množstvo možností spracovania a použitia.

Filter a filtrácia má, v dnešnej dobe, veľký význam. Znečisťovanie ovzdušia je celosvetovým problémom a filtrácia je jednou z možností ako tomu zabrániť.

V tomto okruhu je filter a filtrácia rozpracovaný od vlastností a druhov filtrov až po použitie.

2. 11 Ciel' diplomovej práce

Ako cieľ tejto diplomovej práce je dôkladné preštudovanie premenných parametrov jednotky melt-blown, vyrobiť plošné útvary zo superjemných vláken s rôznym obsahom pojivých vláken, vytvorenie objemnej textílie a zhodnotenie jej základných vlastností.

3 . EXPERIMENTÁLNA ČASŤ

3 .1 Príprava vzoriek pre experiment

Experimentálna časť obsahuje 4 fázy postupu .

1 / príprava vlákenneho materiálu

A : vpichovaného 100 % PES

B : výroba melt - blownu zo superjemných vláken zvlákňovaním 100 % POP a VV POP / POP v pomere 10 % , 20 % , 30 % , 40 % zastúpení VV POP

2 / výroba plošného útvaru s rôznym obsahom pojivých vláken

A : teplovzdušná komora \Rightarrow MB NT + Petex + vpichovaný PES

B : teplovzdušná komora \Rightarrow MB NT [Ecotextil] + Petex + vpichvaný PES

- pre výrobu objemnej NT

3 / výroba objemnej NT

- zariadenie ROTIS

4 / meranie charakteristických parametrov vyrobených NT

3. 1. 1 Príprava vlákenneho materiálu

A : Vlákenna vrstva bola vyrobená mechanickým spôsobom výroby vlákennej vrstvy, mykaním . Výroba bola prevedená na linke pozostávajúcej z válcového mykacieho stroja , priečneho kladeča a vpichovaceho stroja , v v poloprevádzke na KNT .

Bol spracovávany 100 % PES o jemnosti 3 , 1 dtex a dĺžkou vláken 0,0058 m .

Vyrobené rúno bolo znova rozmykané . Bolo to robené pre zlepšenie rovnomernosti celej vlákennej vrstvy a aj kôli rovnosti rozvolnenia vláken . Pre zníženie antistatického náboja bola na polymer rozprášovaná voda .

Experiment bol spracovávaný pri týchto parametroch stroja :

- privádzacia rýchlosť ku vpichovaciemu stroju $v_{pr} = 0,3 \text{ m / min}$
- odvádzacia rýchlosť spevneného rúna $v_{od} = 0,45 \text{ m / min}$
- hĺbka vpichu $0,008 \text{ m}$
- frekvencia vpichovania $200 / \text{min}$

Takto bola vyrobená vlákenna vrstva 100 % PES s plošnou hmotnosťou 240 g/ m^2 .

B : Vlákenna vrstva bola vyrobená technológiou melt - blown na strojovom zariadení J& M Laboratories [kapitola 2 . 1] .

Bol spracovávaný polymer POP a termoplastické pojivo VV POP .

VV POP bol pôvodne použitý ako pojivo v pomere : 1 : 9 , 2 : 8 , 3 : 7 a 4 : 6 VV POP / POP .

Polymer bol spracovávaný pri tomto teplotnom režime a základných parametroch výroby :

• teplota na 1 zóne	178 ° C (351 ° F)
• teplota na 2 zóne	204 ° C (400 ° F)
• teplota na 3 zóne	204 ° C (400 ° F)
• teplota na spojovacom diele (flange)	233 ° C (451 ° F)
• teplota trysky	259 ° C (449 ° F)
• teplota vzduchu	268 ° C (515 ± 5 ° F)
• rýchlosť šneku	1,2 m / min
• výkon šneku	1,7 m / min
• tlak vzduchu	0,25 MPa
• vzdialenosť bubon / tryska	0,5 m
• rýchlosť bubna	110 m / min
• priemer bubna	0,56 m
• obvod bubna	1,76 m
• šírka bubna	0,50 m
• dĺžka trysky	0,15 m
• priemer trysky	(0,3 - 0,5). 10^{-3} m
• počet otvorov trysky	60 otvorov / 0,1 m

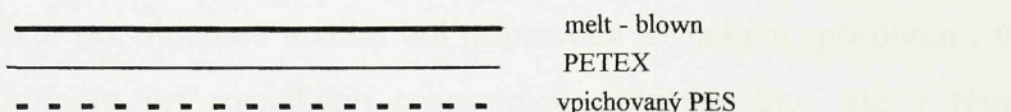
Technológiou melt - blown boli zvlákňovaním vyrobené vrstvy zo superjemných vláken POP s plošnou hmotnosťou 46,6 g / m² a zmesi VV POP / POP s plošnými hmotnosťami viz. tabuľka.

Tabuľka č. 4 s plošnými hmotnosťami

3 . 2 Výroba plošného útvaru

Pripravený materiál bol spracovávaný ako zmesová vlákenna vrstva zložená zo základných a pojivých vláken . Termoplastický polymer PETEX (PE) bol vložený medzi dve vrstvy NT (MB NT POP - PETEX - vpichovaný PES).

Obr.č.18 Plošný útvar



Vlákenne vrstvy s pojivom prechádza teplovzdušnou pojivovou komorou s cirkulujúcim vzduchom . Teplovzdušná komora je s horizontálne uloženým síťovym pásmom . Zariadenie , na ktorom bolo pojenie prevedené , je v poloprevadzke na KNT .

Plošný útvar bol spracovaný pri týchto parametroch :

- privádzacia rýchlosť $v_{pr} = 1,12 \text{ m / min}$
- odvádzacia rýchlosť $v_{od} = 1,26 \text{ m / min}$
- teplota komory 130°C

Teplý vzduch bol udržiavaný ohrevom a regulačným systémom na hodnote postačujúcej k roztaveniu pojiva (PETEX) .

Pri výstupe z komory bolumiestnený kalandrovací válec , ktorý slúžil k zvýšeniu pojivového efektu vplyvom tlaku na taveninu pojiva . Voľba typu polymeru je riadená požiadavkou na tepelnú a chemickú odolnosť plošného útvaru a na mieru spevnenia , ktorá je daná adhéziou pojiva k základným vlákennym vrstvam . U tepelne pojených textílii je relatívne malá plocha styku s vláknami v porovnaní s vláknami pojiny mi chemicky . Z tohoto dôvodu bol za komorou kalandrovací válec (celoplošné prepojenie).

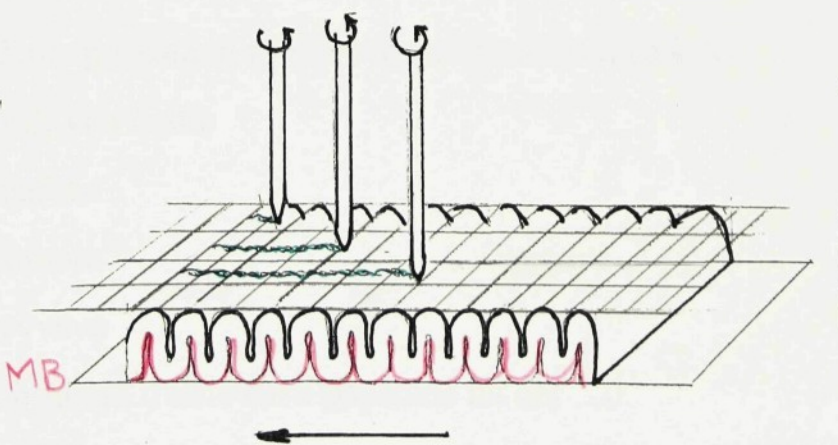
3 . 2 . 1 Príprava plošného útvaru pre objemnú textíliu

Plošný útvar pre objemnú textíliu bol pripravená rovnakým spôsobom , v teplovzdušnej komore pri rovnakých pracovných parametroch , ale s tým rozdielom , že nebola použitá NT vyrobená v poloprevádzke KNT . Použitá bola MB NT spoločnosti Ecotextil z Horňátkov.

3 . 3 Výroba objemnej textílie

Vyrobené plošné útvary boli uložené do objemnej textílie vo firme Steels - Liberec na technickom zariadení ROTIS .Princíp zariadenia spočíva v preväzovaní (zaužľovaní) poskladaného plošného útvaru do objemnej textílie .

obrázok 19



Rovnomerné sklady zabezpečuje kolmý ukladač plošného útvaru . Preväzovanie bolo cez PE mriežku s veľkosťou ok $0,5 \cdot 10^{-2} \times 0,5 \cdot 10^{-2}$ m , Ktorá udržuje obľemnú textíliu v požadovanom úložení .

Napriek tomu bola objemná textília ešte raz navedená do teplovzdušnej komory pre zafixovanie PE mriežky a tiež vodorovnej polohy objemnej textílie .

Fixovanie objemnej textílie prebiehalo s týmito parametrami :

- teplota komory 130°C
- privádzacia rýchlosť $v_{\text{pr}} = 1,15 \text{ m / min}$
- odvádzacia rýchlosť $v_{\text{od}} = 1,20 \text{ m / min}$

Za teplovzdušnou komorou už neboli použití kalandrovací válec .

3. 4 Meranie charakteristických parametrov vyrobených NT

3 . 4 . 1 Filtrácia prachu

Ako bolo spomenuté v kapitole 2. 6. 4 ,efektivita (účinnosť)filtra je dôležitým parametrom , a preto bolo prevedené meranie na prachovom zariadení

Zariadenie pozostáva zo štyroch samostatných celkov :

- dávkovač prašných častic
- spojovacia hadica
- testovacia komora
- .vzduchová výveva

Tieto celky obsahujú ďalšie časti popísané na obr .20.

Vzduchová výveva

Prúd vzduchu je vytvorený pomocou prístroja METEFEM typ FF-12/A pre meranie predyšnosti a efektivity filtra. Ta zaistuje odsávanie požiadovaného množstva vzduchu. Vzduch je odsávaný z komory, v ktorej je upevnená testovacia vzorka. Rýchlosť prúdenia vzduchu cez túto vzorku je konštantná a rovná 2000 l / hod.

Testovacia komora

Testovacia komora je zložená z troch kotúčov. V hornom kotúči (2), ktorý sa pokladá na testovaný materiál, je pripojený sklenený kužeľ (1). Najnižší kotúč (4) je pripojený k hadici vedenej k nasavajúcemu zariadeniu (11). Na ňom leží nepriepustný filter (9), znemožňujúci priechod nezachyteným zkúšobným časticiam do nasavajúcieho zariadenia. Prostredný kotúč (3) prilieha k nepriepustnému filtrovi a naňho sa ukladá testovacia vzorka. Po obvodoch kotúčov sú vyvrstané otvory, aby pomocou šrúbov bolo možné vzorky utesniť.

Potrbné bolo zaistiť tesnosť, aby nikde neunikal vzduch. Niektoré vzorky sú pomerne vysoké a pri utiahnutí šrúbov dochádza sice k stlačeniu vláken, ale stále tam ostáva priestor, ktorým je vzduch nasávaný. Používajú sa gumové krúžky (7) s priemerom 110 mm, ktoré boli ukladané na obidva filtre. Na zlepšenie utesnenia boli obidva spoje prelepené tesniacou páskou.

Dávkovacie zariadenie

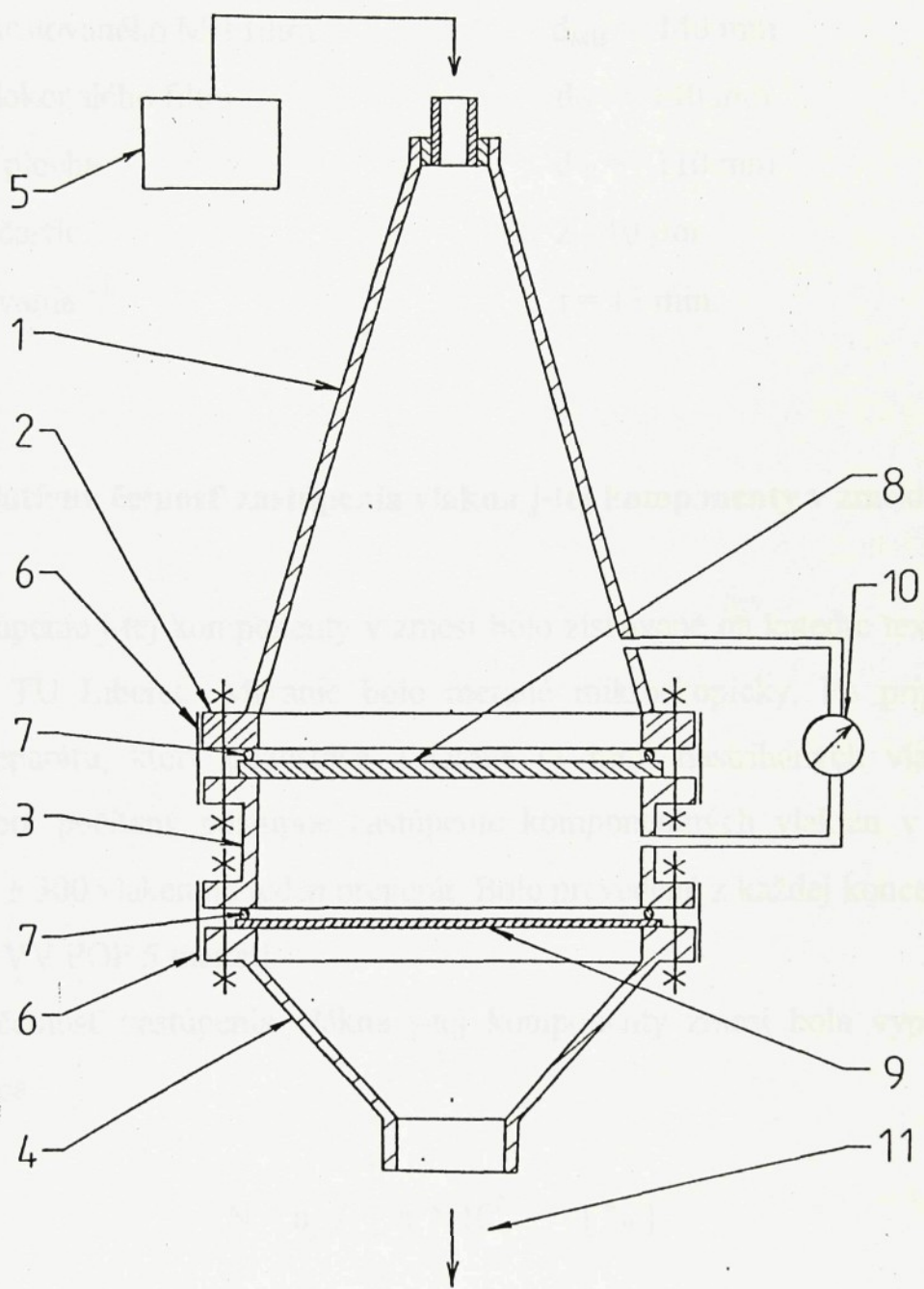
Dávkovacie zariadenie zaistuje rovnomernú dodávku častíc k testovanej vzorke počas celého merania. Je to horizontálne uložený kovový kotúč, poháňaný

motorčekom zabezpečujúcim konštantnú rýchlosť otáčania. Rovnomerným vyplnením drážky prachom je zaistené, že bude nasávané a k filtrovi dodávané približne rovnaké množstvo prachu po celú dobu merania.

Spojovacie potrubie

Vzájomné prepojenie uvedených zariadení a prístrojov je prevedené hadicami zo zmekčeného PVC a spojovacím potrubím, ktoré sú dokonale utesnené vo všetkých spojoch (11). Úsek meracieho zariadenia, kde prúdi zmes vzduchu zo skušobným médiom, musí mať hladké steny, aby nedochádzalo k zachytávaniu zkúšobných častíc. Tomu sa nedá úplne zabrániť vďaka elektrostatickému náboju.

Obr.20 Meracie zariadenie pre testovanie filtračných vlastností materiálov



- | | |
|------------------------------------|--------------------------------|
| 1 sklenený kužeľ | 7 tesniace gumové krúžky |
| 2 horný kotúč | 8 zkúšobná vzorka |
| 3 stredný kotúč | 9 dokonalý filter |
| 4 spodný kotúč | 10..... manometer |
| 5 dávkovač práškových častíc | 11..... spojovacia hadica |
| 6 tesniaca páska | |

Meranie prebiehalo s týmito parametrami:

- objem vzduchu 2000 l / hod.
 - rozmer testovaného MB filtra $d_{MB} = 140$ mm
 - rozmer dokonalého filtra $d_D = 140$ mm
 - filtračná plocha $d_F = 110$ mm
 - veľkosť častic $2 - 10 \mu\text{m}$
 - čas testovania $t = 15$ min.

3.4.2 Relatívna četnosť zastúpenia vlákna j -tej komponenty v zmesi

Zastúpenie j-tej komponenty v zmesi bolo zisťované na katedre textilných materiálov TU Liberec. Meranie bolo merané mikroskopicky. Po pripravení daného preparátu, ktorý pozostáva z jemne (1 mm) nastrihaných vlakien a glycerinu bol počítaný postupne zastúpenie komponentných vlakien v zmesi. Celkovo je \pm 300 vlaken na jeden preperát. Bolo prevedené z každej koncentrácie zastúpenia VV POP 5 meraní.

Relatívna četnosť zastúpenia vlákna j-tej komponenty zmesi bola vypočítaná podľa vzorca

$$N = n_j / \sum n_j * 10^2 \quad [\%] \quad (16)$$

3.4.3 Určenie priemeru mikrovláken

Priemer vláken bol tiež zistovaný na katedre textilných materiálov. Meranie bolo prevedené na Lanametry.

Odčítaním z obrazovky boli zistené tieto priemery:

- POP $d_{POP} = (3,7 \pm 1,16) \mu\text{m}$
- VV POP $d_{VV\ POP} = (7,18 \pm 1,47) \mu\text{m}$

Vlákna POP sú lesklé, priesvitné. Vlákna VV POP boli matované.

3. 4. 4 Určenie hrúbky filtrov

Aj toto meranie bolo robené na KTM na zariadení UNI-THICKNESS-METER.

Skúška spočíva v zmeraní zmesi medzi dvoma rovnobežnými doštičkami, dotýkajúcimi sa vzorky plošnej textilie behom stanovenej doby a pod daným tlakom. Vzdialenosť medzi doštičkami charakterizuje hrúbku plošnej textilie.

Plocha meranej doštičky bola $1000 [\text{mm}^2]$ a tlak $2 [\text{kPa}]$ po dobu 30 s ; ČSN 80 0844.

3. 4. 5 Rozbor filtra DGA 091 001

Tento filter je používaný v automobilovom priemysle na zachytávanie prachu a peľu z ovzdušia. Je vyrobený ako objemný filter, a preto bude jeho účinnosť porovnaná s účinnosťou objemného filtru vyrobeného na zariadení Rotis.

Kedže výrobca neudáva žiadne výrobné parametre bol tento filter preskúmaný aj čo sa týka technológie výroby.

Predpokladaný proces výroby objemného filtra DGA 091 001:

- do rozmykaného vláknenného materiálu bol pridaný pojivový prášok (termoplast)

- celá vlákenná vrstva bola navedená do vpichovacieho stroja, kde nastalo zpevnenie vlákennej vrstvy
- takto pripravená vlákenná vrstva tvorila podkladovú textiliu, na ktorú boli ukladané kolmo kladené vlákna (struto) s pojivovým práškom
- celá objemná textilia bola navedená do teplovzdušnej komory, kde došlo k zafixovaniu približne pri teplote 200°C .

Namerané parametre:

• použitý materiál	100 % PES termoplastický pojivový prášok
• priemer vláken	16 μm
• plošná hmotnosť	329,4 g / m^2
• hrúbka	10,1 mm
• teplota T_m PES	$250 \pm 5^{\circ}\text{C}$
• teplota T_m term. prášku	$200 \pm 10^{\circ}\text{C}$
• účinnosť filtra	73,58 %

Vlákna sú matované, nelesklé.

3. 4. 6 Zistovanie predyšnosti filtrov

Predyšnosť filtrov je schopnosť plošnej textilie prepúšťať vzduch za daných podmienok. Meranie bolo prevádzané na prístroji METEFEM typ FF-12/A. Podstata skúšky spočíva v nasávaní vzduchu skúšobnou plošnou textiliou pri stanovenej skúšobnej ploche vzorky a stanovenom podtlaku vzduchu. Stanovenie predyšnosti plošnej textilie je určené normou ČSN 80 0817.

Predyšnosť bola meraná pri týchto podmienkach:

- plocha merania 20 cm^2
 - podtlak v saciom potrubí 200 Pa

Predyšnosť W filtra bola počítaná podľa vzťahu:

$$W = 100 \cdot v / 36 \cdot P \quad (17)$$

kde W predyšnosť [$1 \cdot m^2 / s$]

v priemerný prietok vzduchu [1 / hod]

P plocha vzorky [cm²]

4. Zhodnotenie výsledkov meraní - diskusia

Vyrobením plošných a objemných útvarov bol vytvorený materiál pre experimentálne merania. Zaznamenané výsledky sú zhrnuté následovne :

Vytvorením vlákenného rúna zo 100% PES, ktorý bol následne vpichovaný na vpichovacom stroji, bola vyrobená podkladová textília pre plošný útvar. Plošná hmotnosť bola 240 g/m^2 . Plošný útvar pozostával z troch vrstiev: Vpichovaného PES, termoplastického pojiva Petex a vlákennej vrstvy vyrobenej technológiou melt-blown. Bol použitý 100 % POP s rôznym obsahom VV POP (10%, 20%, 30%, 40%). Výroba prebiehala pri pracovných parametroch viz. kap. 3. 1. 1.

Štruktúra vlákennej vrstvy bola tvorená z dvoch druhov vláken s priemermi, ktoré sú uvedené v tabuľke č.3:

Tabuľka č. 3 Priemery vláken POP a VV POP

	POP	VV POP
priemerná hod. [μm]	3,7	7,18
smerodat. odch. [μm]	1,16	1,47
variačný koef. [%]	31,3	20,4

Vlána VV POP boli ukladané skôr na povrchu vlákennej vrstvy. Vlákna POP neboli VV POP obaľované ani zlepované do zhlukov. Každý druh vláken bol samostatne. Plošná hmotnosť sa so zvyšujúcou koncentráciou pojivého komponentu znižovala (tabuľka č. 4).

Tabuľka č. 4 Plošné hmotnosti POP a VV POP

POMIERNÝ VÝ POP / POP [%]	PLOŠNÁ HMOGNOSŤ [g/m ²]
0	46,6
10	44,5
20	41,2
30	38,7
40	37,0
<i>priemer [g / m²]</i>	<i>41,6</i>
<i>smerodatná odchýlka [g / m²]</i>	<i>4,0</i>
<i>variačný koeficient [%]</i>	<i>9,55</i>

Četnosť zastúpenia kompozitného materiálu bola meraná z dôvodu zistenia rovnomernosti štruktúry materiálu, pravidelnosti usporiadania jednotlivých druhov vláken. Výsledky boli spracované podľa vzťahu (16). Je možné skonštatovať, že vlákenna vrstva bola vyrobená pomerne rovnomerne. Výsledky sú zaznamenané v tabuľke č. 5.

Tabuľka č. 5 Četnosť zastúpenia kompozitu

Četnosť [%]	10%	20%	30%	40%
priemer [%]	7,6	18,3	31,53	42,16
smer.odch.[%]	1,5	2,52	5,93	3,8
variač.koef.%	19,92	13,72	18,8	9,21

Všetky plošné útvary boli navedené do teplovzdušnej komory pre zlepšenie prepojenia jednotlivých vrstiev. Teplota v komore bola 130 °C.

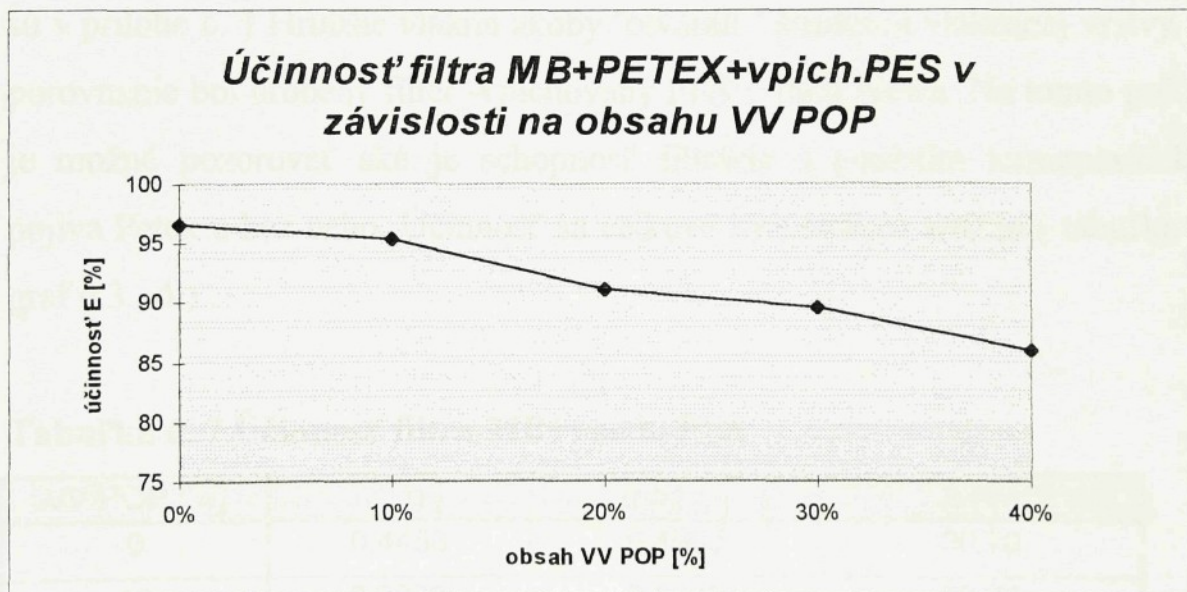
Rovnakým spôsobom bol vyrobený základný plošný útvar pre objemnú textíliu. Ako vlákenna vrstva bol použitý melt-blown od firmy Ecotextil z Horňátkov. Takto pripravený plošný útvar bol poskladaný (obr.č. 19) a spevnený mriežkou a zákrutom na zariadení Rotis.

Filtrácia plošného útvaru ($MB = POP + x\% VV POP$) bola meraná na prachovom zariadení s veľkosťou častic prachu 2-10 μm . Odsávanie vzduchu bolo 2000 l/hod po dobu 15 min.

Tabuľka č. 6 Účinnosť filtra MB+Petex+vpich. PES

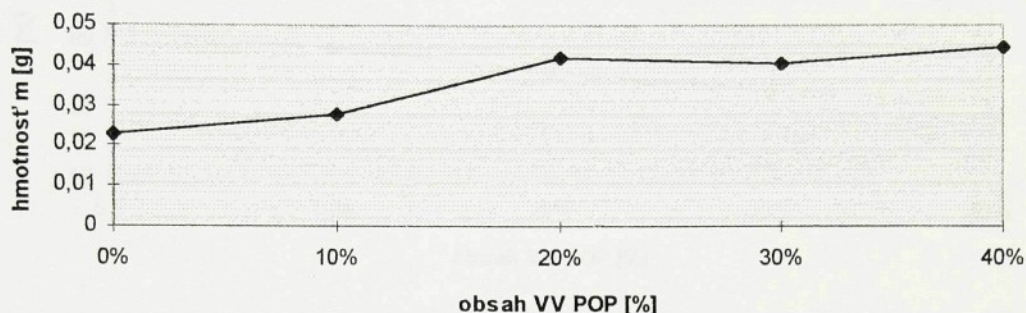
VV POP[%]	m [g]	mp [g]	E [%]
0	0,6567	0,6794	96,65
10	0,5846	0,6125	95,45
20	0,4259	0,4678	91,04
30	0,3466	0,3871	89,53
40	0,2735	0,3180	86,01

Graf č. 1 Závislosť účinnosti filtra na obsahu pojiva



Graf č. 2 Hmotnosť prachu zachytená na dokonalom filtere

**Hmotnosť prachu zachytená na dokonalom
filtre pri testovaní MB+PETEX+vpich.PES v
závislosti na obsahu VV POP**



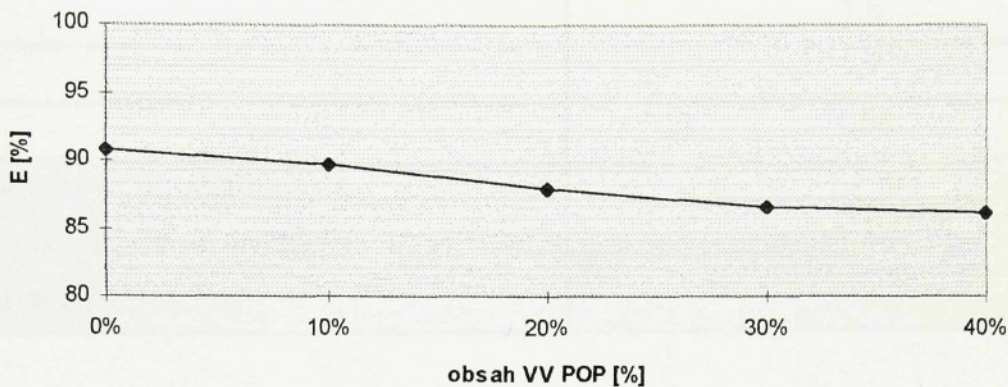
Účinnosť klesá so zvyšujúcim sa obsahom VV POP. Všetky namerané hodnoty sú v prílohe č. 1. Hrubšie vlákna akoby "otvárali" štruktúru vlákennej vrstvy. Pre porovnanie bol urobený filter -vpichovaný PES + melt-blown. Na tomto príklade je možné pozorovať aká je schopnosť filtrácie s použitím termoplastického pojiva Petex a bez neho. Účinnosť sa celkovo rovnomerne znížila (tabuľka č.7, graf č.3., 4.) .

Tabuľka č. 7 Účinnosť filtra MB+vpich. PES

VV POP [%]	m [g]	mp [g]	E [%]
0	0,4453	0,4905	90,78
10	0,3033	0,3379	89,76
20	0,3248	0,3695	87,91
30	0,3507	0,4053	86,52
40	0,3702	0,4299	86,11

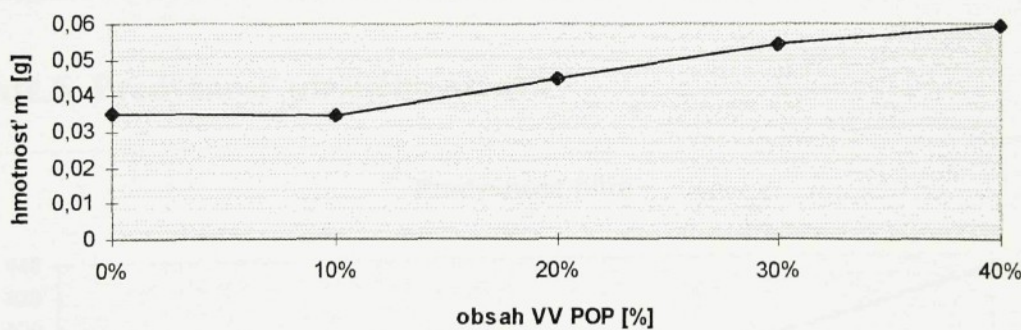
Graf č. 3 Účinnosť filtra MB+vpich. PES

Účinnosť filtra MB+vpich.PES v závislosti na obsahu VV POP



Graf č. 4 Hmotnosť prachu zachytená na dokonalom filtro

Hmotnosť prachu zachytená na dokonalom filtro pri testovaní MB+vpich.PES v závislosti na obsahu VV POP



Hrúbka plošného útvaru bola ($1,75 \pm 0,2$) mm pod tlakom 2 kPa po dobu 30 sekúnd (tabuľka č.8).

Predyšnosť plošného útvaru sa so zvyšujúcim obsahom VV POP zvyšuje (tabuľka č. 9, graf č. 5).

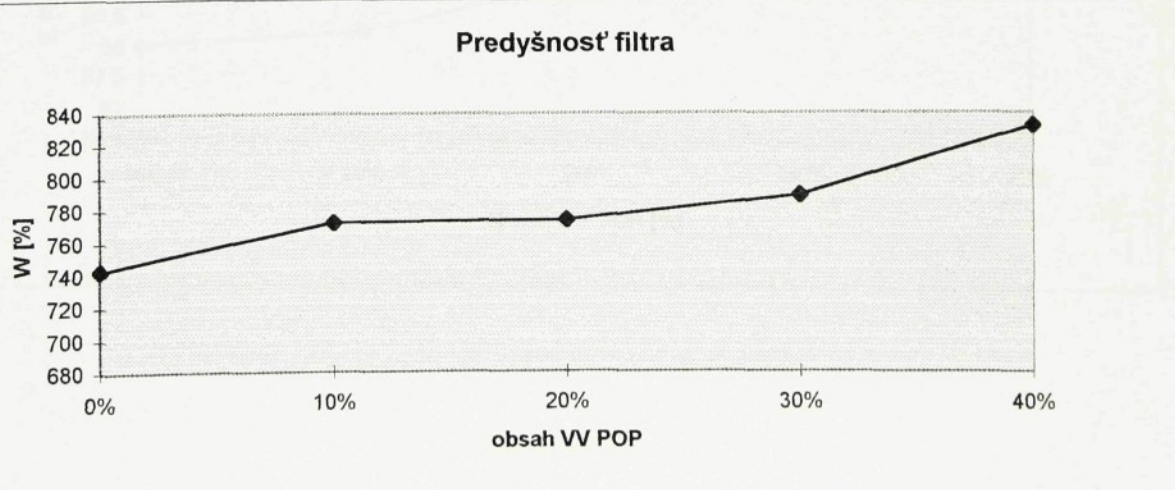
Tabuľka č. 8 Hrúbka plošného útvaru

	Hrúbka [mm]
	1,7
	2,17
	1,6
	1,7
	1,56
priemerná hodnota [mm]	1,746
smerodat. odch. [mm]	0,24
variačný koef. [%]	14,03

Tabuľka č. 9 Predyšnosť plošného útvaru

	0%	10%	30%	40%
v [l / hod]	5350	5560	5680	5990
smerodat. odch. [l/hod]	158	117	103	334
variačný koef. [%]	2,95	2,11	1,81	5,58
Predyšnosť [l / m².s]	743,1	772,2	788,8	831,9

Grafč.5 Predyšnosť plošného útvaru

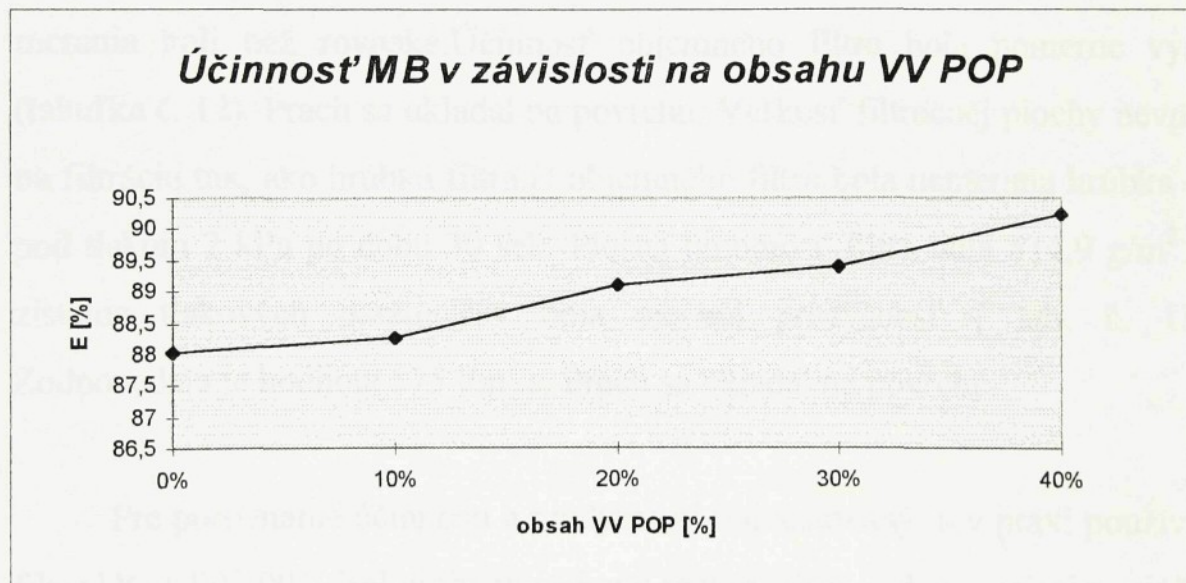


Účinnosť samotného melt-blownu a vpichovaného PES je zaznamenaná v tabuľke č. 10 a grafe č. 6, 7.

Tabuľka č. 10 Účinnosť MB a vpich. PES

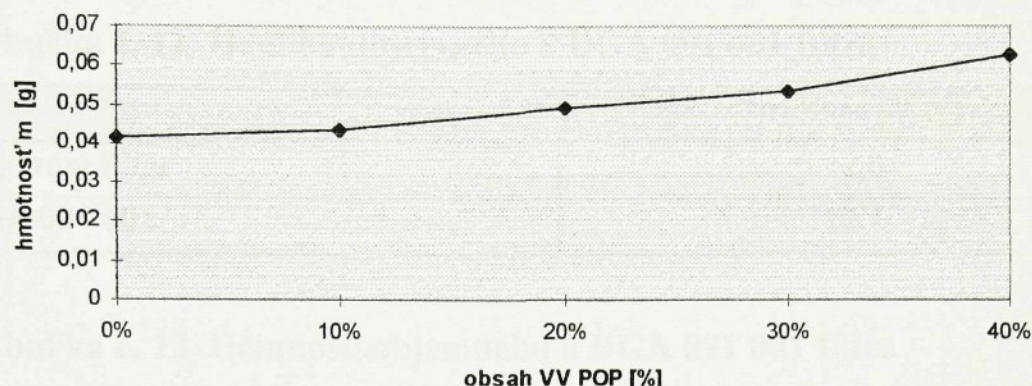
	m [g]	mp [g]	E [%]
vpich. PES	0,6355	0,8191	77,58
MB 0 %	0,3048	0,3463	88,02
MB 10 %	0,3688	0,4179	88,25
MB 20 %	0,2516	0,2946	89,10
MB 30 %	0,4604	0,5136	89,41
MB 40 %	0,3846	0,4674	90,24

Graf č. 6 Účinnosť MB v závislosti na obsahu VV POP



Graf č. 7 Hmotnosť prachu zachytená na dokonalom filtro

**Hmotnosť prachu zachytená na dokonalom
filtre pri testovaní MB v závislosti na obsahu
VV POP**



Objemný útvar bol tiež premeraný na prachovom zariedení. Parametre merania boli tiež rovnaké. Účinnosť objemného filtra bola pomerne vysoká (tabuľka č. 12). Prach sa ukladal na povrchu. Veľkosť filtračnej plochy nevplyvá na filtráciu tak, ako hrúbka filtra. U objemného filtra bola nameraná hrúbka 12,8 pod tlakom 2 kPa po dobu 30 sek. Plošná hmotnosť filtra bola $514,9 \text{ g/m}^2$. Pre zistenie tlakových parametrov bola meraná predyšnosť (tab. č. 13). Zodpovedala je hodnota $575 \text{ l/m}^2 \cdot \text{s}$. Prach sa ukladal na povrchu.

Pre porovnanie účinnosti a predyšnosti bol testovaný, a v praxi používaný, filter DGA 091 001. Bol urobený celkový rozbor filtra - odhahu výroby, zloženia materiálu, priemeru vláken, hrúbky, účinnosti a predyšnosti.

Výsledky merania:

- zloženie materiálu : PES s priemerom vláken $16 \mu\text{m}$ a termoplastické práškové pojivo (200 ± 10) $^\circ\text{C}$
- hrúbka filtra : 10,1 mm

- účinnosť filtra: v porovnaní s objemným filtrom (Rotis) je nižšia 73,58 %
- predyšnosť : 918,1 l/m².s
- prach sa ukladal nielen na povrchu ,ale aj do celého objemu

Tabuľka č. 11 Hrúbka objemného a DGA 091 001 filtra

	Hrúbka [mm]
objemný filter	12,8
DGA 091 001	10,1

Tabuľka č. 12 Účinnosť objemného a DGA 091 001 filtra

	m1	m2	E [%]
objemný filter	0,4232	0,4241	99,78
DGA 091 001	0,1986	0,2699	73,58

Tabuľka č. 13 Predyšnosť objemného a DGA 091 001 filtra

	objemný	DGA 091 011
Ȑ [l/ hod]	4140	6610
smerodat. odch. [l/hod]	195	994
variačný koef. [%]	1,95	1,5
Predyšnosť [l/ m².s]	575	918,1

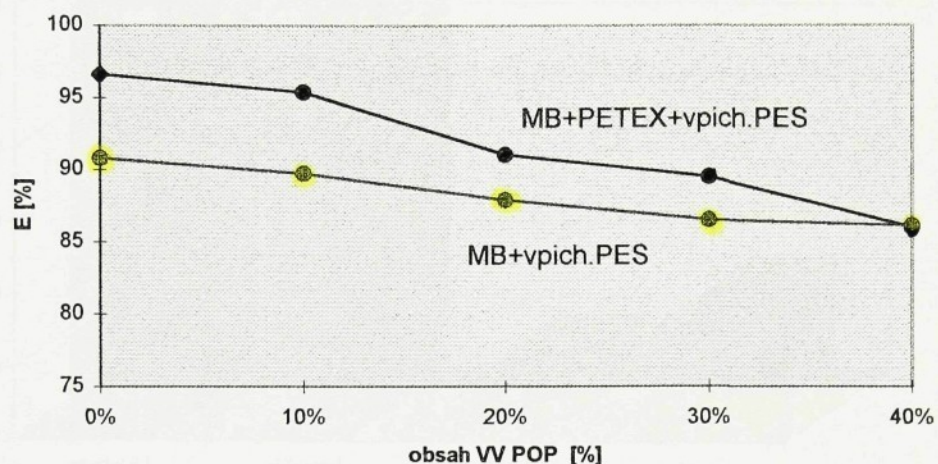
Celkovo je možné povedať,že i keď sú značné rozdiely výsledkov u obidvoch filtrov, plošný filtre s obsahom 40 % VV POP sa priblížil účinnosťou a predyšnosťou k hodnotám filtra DGA 091 001. Rozdiely sú dané hlavne technológiou výroby a následnej štruktúry oboch filtrov .

V grafe č. 8, 9 sú viditeľné posuny účinnosti plošných útvarov.

Graf č. 8 Závislosti účinnosti plošných útvarov na obsahu pojivových vláken

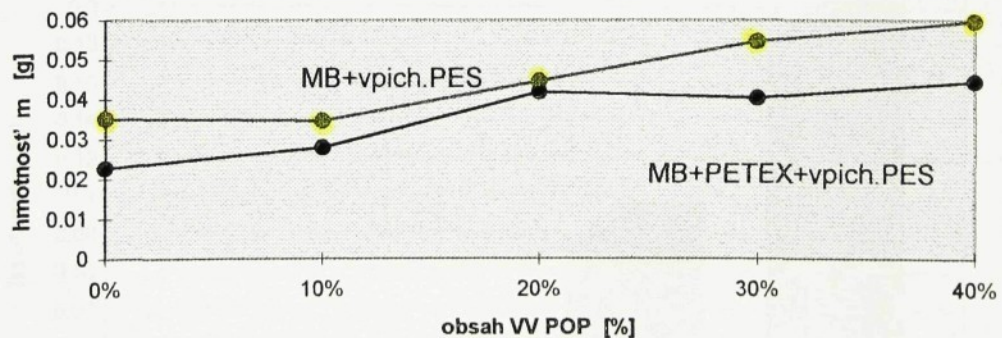
VV POP

Účinnosť MB + PETEX + vpich. PES a MB + vpich. PES v závislosti na obsahu VV POP



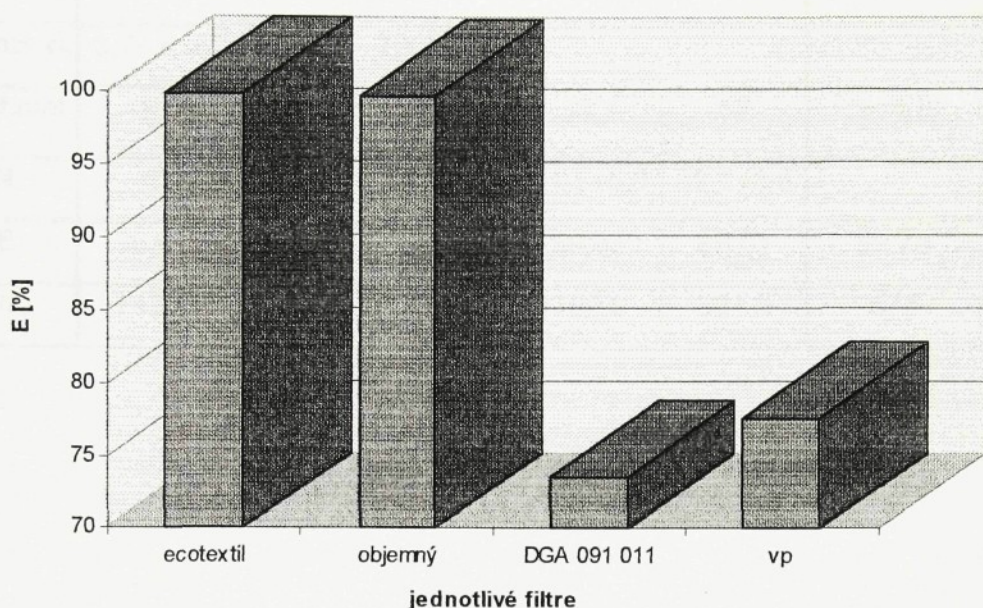
Graf č. 9 Hmotnosť prachu zachytená dokonalým filtrom

**Hmotnosť prachu zachytená na dokonalem filtro
MB+PETEX+vpich.PES a MB+vpich.PES v závislosti
na obsahu VV POP**



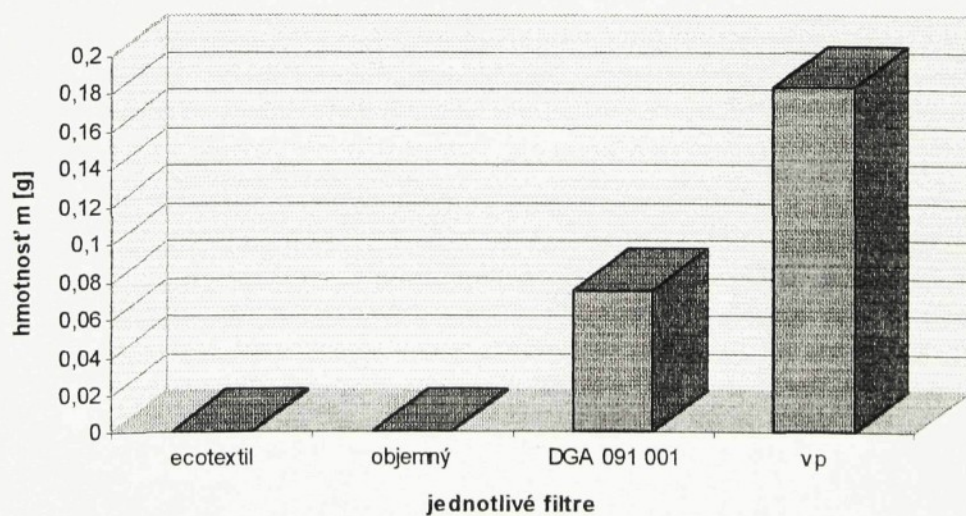
Graf č. 10 Účinnosť filtrácie jednotlivých filtrov

Účinnosť filtrov : Ecotextil, objemný, DGA 091 001, vpichovaný PES



Graf č. 11 Hmotnosť prachu zachytená na dokonalom filtre

Hmotnosť prachu zachytená dokonalým filtrom pri testovaní filtrov : Ecotextil, objemný, DGA 091 001 a vpichovaný PES



V tabuľke č. 14 je celkové zhrnutie nameraných hodnôt.

Tabuľka č. 14 Celkové zhrnutie

	0%	10%	20%	30%	40%	objemný	DGA 091 001
hrúbka		1,75+0,24				12,8	10,1
priemer vl.	3,7+1,16	7,18+1,47					16
ploš.hmot	46,6	44,5	41,2	38,7	37	514,9	329,4
N	0	7,6+1,5	18,3+2,5	31,5+5,9	42,2+3,8		
E	96,65	95,45	91,04	89,53	86,01	99,78	73,58
W	742,1	772,2	773,6	788,8	831,9	575	918,1

5. ZÁVER

Vďaka mikrovlákennej štruktúre technológie melt-blown sú vyrábané filtre, ktoré zachytávajú nečistoty (prach, peľ, smog atď.) zo vzduchu.

Pri sledovaní schopnosti znovaobnovenia filtrácie a schopnosti zachytávať prach bola meraná účinnosť ako plošných, tak aj objemných filtrov. Plošné filtre boli vyrobené z POP s rôznym obsahom pojivových vláken VV POP (10 %, 20 %, 30 %, 40 %). Výsledná plošná textilia bola zložená z vpichovaného PES, termoplastického pojiva PETEX (PE) a vyrobenej vlákennej komponentnej vrstvy. Priemery jednotlivých vláken sa pohybovali:

- **POP** $d_{POP} = (3,7 \pm 1,16) \mu\text{m}$
- **VV POP** $d_{VV\ POP} = (7,18 \pm 1,47) \mu\text{m}$

Dá sa povedať, že so zvyšujúcou sa koncentráciou pojivových vláken a so znižujúcou sa plošnou hmotnosťou, účinnosť filtra klesá. Predyšnosť sa so zvyšujúcou koncentráciou takisto zvyšuje.

Objemný filter bol vyrobený z vpichovaného PES, termoplastického pojiva PETEX a melt-blownu od firmy ECOTEXTIL z Horňátkov. Kolmým ukladaním bol zpevnený zákrutom a mriežkou (Rotis). Týmto ukladaním sa zväčšila nielen hrúbka filtra, ale aj filtračná plocha. Účinnosť tohto objemného filtra bola pomerne vysoká, a to 99,78 %. Prach sa ukladal prevážne na povrchu. Predyšnosť bola nameraná pomerne nízka $575 [1/\text{m}^2 \cdot \text{s}]$.

Pre lepšie porovnávanie a zhodnotenie bol hodnotený a testovaný filter, ktorý je používaný v automobilovom priemysle DGA 091 001. Tento filter sa používa na zachytávanie prachu a peľu zo vzduchu, ktorý je vháňaný do kabiny auta. Účinnosť testovaného filtra DGA 091 001 bola 73,58 %. Zanášanie prachu bolo v celom objeme filtra. Predyšnosť bola vysoká $918 [1/\text{m}^2 \cdot \text{s}]$.

Dá sa teoreticky povedať, že tlakové ztraty u vyrobenej objemnej textilie boli vyššie, než pri testovanom filtry DGA 091 001. Hodnota tlakového spádu nebola v tejto práci určovaná, k približnému určeniu tlakových rozdielov bola meraná predyšnosť filtra.

POUŽITÁ LITERATÚRA :

- [1] Melt-blown technology today, San Francisco, 1989
- [2] Pich : Dizertačná práca , 1964
- [3] R. C. Brown : Air filtration
- [4] Bever : Encyklopédie of materials science enginniring, vol. 2
- [5] J. Pich : Úvod do základov vysokoefektívnej filtrácie

PRÍLOHA č. 1

Tabul'ky nameraných hodnôt

Tab. č.15 0% MB+Petex+vpich.PES

	m_{f1} [g]	m_{f2} [g]	m_f [g]	m_1 [g]	m_2 [g]	m [g]
1	1,3224	1,3171	0,0053	2,1219	3,6562	1,5343
2	1,3497	1,3769	0,0272	2,1095	2,3016	0,1921
3	1,3365	1,3621	0,0256	2,0311	2,7095	0,6784
4	1,3342	1,3621	0,0279	2,0288	2,3825	0,3537
5	1,3574	1,3852	0,0278	2,2983	2,8233	0,5250
priemer. [g]			0,0228			0,6567
smer. odch. [g]			0,0087			0,4681
variač. koef .[%]			38,52			71,28

Tab. č. 16 10% MB+Petex+vpich.PES

	m_{f1} [g]	m_{f2} [g]	m_f [g]	m_1 [g]	m_2 [g]	m [g]
1	1,3310	1,3582	0,0272	2,4595	2,8892	0,4297
2	1,3955	1,4199	0,0235	2,5434	3,0479	0,5045
3	1,3308	1,3522	0,0214	2,3149	3,3751	1,0602
4	1,3885	1,4192	0,0307	2,2365	2,8120	0,5755
5	1,3821	1,4189	0,0368	2,3215	2,6749	0,3534
priemer [g]			0,0279			0,5866
smer. odch . [g]			0,0054			0,2791
variač. koef .[%]			19,56			42,59

Tab. č. 17 20% MB+Petex+vpich.PES

	m_{f1} [g]	m_{f2} [g]	m_f [g]	m_1 [g]	m_2 [g]	m [g]
1	1,3466	1,3533	0,0367	2,2264	2,4731	0,2467
2	1,3747	1,4122	0,0375	2,0988	2,7571	0,6583
3	1,3797	1,4172	0,0375	2,2241	2,6704	0,4463
4	1,3445	1,3929	0,0484	2,2365	2,7253	0,4888
5	1,3836	1,4331	0,0495	2,2639	2,5535	0,2896
priemer [g]			0,0419			0,4259
smer. odch . [g]			0,0064			0,1476
variač. koef .[%]			13,73			34,67

Tab č. 18 30% MB+Petex+vpich.PES

	$m_{f1} [g]$	$m_{f2} [g]$	$m_f [g]$	$m_1 [g]$	$m_2 [g]$	$m [g]$
1	1,3488	1,4025	0,0537	2,0917	2,3681	0,2764
2	1,3951	1,4336	0,0385	2,0006	2,2404	0,2344
3	1,3463	1,3846	0,0383	2,0405	2,1752	0,1347
4	1,3509	1,3821	0,0312	1,9002	2,6282	0,7280
5	1,3958	1,4359	0,0401	2,0627	2,4226	0,3599
priemer [g]			0,0403			0,3466
smer. odch . [g]			0,0073			0,2039
variač. koef . [%]			18,19			58,84

Tab č. 19 40% MB+Petex+vpichPES

	$m_{f1} [g]$	$m_{f2} [g]$	$m_f [g]$	$m_1 [g]$	$m_2 [g]$	$m [g]$
1	1,3493	1,3952	0,0459	2,0961	2,2877	0,1916
2	1,3485	1,3880	0,0395	2,1270	2,3588	0,2318
3	1,3868	1,4245	0,0377	2,0175	2,5092	0,4917
4	1,3577	1,4110	0,0533	2,2726	2,4879	0,2153
5	1,3206	1,3629	0,0423	2,4113	2,6486	0,2373
priemer [g]			0,0444			0,2735
smer. odch . [g]			0,0059			0,1102
variač. koef . [%]			13,43			40,29

Tab. č. 20 Ecotextil+ Petex+vpich.PES

	$m_{f1} [g]$	$m_{f2} [g]$	$m_f [g]$	$m_1 [g]$	$m_2 [g]$	$m [g]$
1	1,3794	1,3803	0,0009	2,2473	3,4534	1,2061
2	1,3683	1,3694	0,0011	2,2266	2,9213	0,6947
3	1,3654	1,3658	0,0004	2,1219	2,6585	0,5366
4	1,3293	1,3304	0,0011	2,0366	2,5408	0,5042
5	1,3836	1,3842	0,0006	2,2268	2,6399	0,4131
priemer [g]			0,0008			0,6709
smer. odch . [g]			0,0003			0,2825
variač. koef . [%]			33,97			42,11

Tab. 21 Objemný filter

	m_{f1} [g]	m_{f2} [g]	m_f [g]	m_1 [g]	m_2 [g]	m [g]
1	1,3838	1,3844	0,0006	8,0957	8,5237	0,4280
2	1,3413	1,3419	0,0006	8,0254	8,3759	0,3505
3	1,3874	1,3882	0,0008	9,1695	9,5571	0,3876
4	1,3668	1,3683	0,0015	9,6394	9,9299	0,2905
5	1,3242	1,3251	0,0009	8,3393	8,9989	0,6596
priemer [g]			0,0008			0,4232
smer. odch. [g]			0,0003			0,1265
variač. koef. [%]			33,97			29,89

Tab. č. 22 vpichovaný PES

	m_{f1} [g]	m_{f2} [g]	m_f [g]	m_1 [g]	m_2 [g]	m [g]
1	1,3782	1,5836	0,2054	0,6862	1,1884	0,5022
2	1,4144	1,6173	0,2029	0,6849	1,1152	0,4303
3	1,3772	1,5957	0,2185	0,6589	1,1055	0,4466
4	1,4175	1,5886	0,1711	0,7408	2,2263	1,4855
5	1,3308	1,4509	0,1201	0,7542	1,0672	0,3130
priemer [g]			0,1836			0,6355
smer. odch. [g]			0,0353			0,4294
variač. koef. [%]			19,26			67,57

Tab č. 23 0 % MB

	m_{f1} [g]	m_{f2} [g]	m_f [g]	m_1 [g]	m_2 [g]	m [g]
1	1,4048	1,4531	0,0483	0,6616	0,8316	0,1700
2	1,3787	1,4199	0,0412	0,6343	0,8089	0,1746
3	1,4174	1,4510	0,0336	0,6811	1,5303	0,8492
4	1,3216	1,3659	0,0443	0,7161	0,8978	0,1917
5	1,3783	1,4185	0,0402	0,5666	0,7055	0,1389
priemer [g]			0,0415			0,3048
smer. odch. [g]			0,0048			0,2726
variač. koef. [%]			11,71			89,44

Tab. č. 24 10% MB

	m_{f1} [g]	m_{f2} [g]	m_f [g]	m_1 [g]	m_2 [g]	m [g]
1	1,4140	1,4484	0,0344	0,6750	1,1996	0,5246
2	1,3754	1,4352	0,0598	0,6101	0,9437	0,3336
3	1,3898	1,4469	0,0571	0,6359	0,9746	0,3387
4	1,4035	1,4451	0,0416	0,6538	0,8244	0,1706
5	1,3659	1,4185	0,0523	0,6361	0,8379	0,4769
priemer [g]			0,0491			0,3688
smer. odch. [g]			0,0096			0,1244
variač. koef. [%]			19,60			33,72

Tab.č. 25 20% MB

	m_{f1} [g]	m_{f2} [g]	m_f [g]	m_1 [g]	m_2 [g]	m [g]
1	1,4071	1,4400	0,0329	0,6273	0,7139	0,0866
2	1,3723	1,4149	0,0426	0,6827	0,8108	0,1281
3	1,3145	1,3510	0,0365	0,5885	1,1783	0,5898
4	1,5149	1,5708	0,0559	0,4558	0,6583	0,2025
5	1,5186	1,5684	0,0498	0,6560	0,9049	0,2489
priemer [g]			0,0435			0,2511
smer. odch. [g]			0,0083			0,1784
variač. koef. [%]			19,19			71,05

Tab. č. 26 30% MB

	m_{f1} [g]	m_{f2} [g]	m_f [g]	m_1 [g]	m_2 [g]	m [g]
1	1,5325	1,5356	0,0031	0,5526	0,6739	0,1213
2	1,5589	1,6249	0,0660	0,5621	1,3708	0,8087
3	1,5448	1,6336	0,0888	0,5359	0,7624	0,2265
4	1,5459	1,6320	0,0861	0,5469	0,9932	0,4463
5	1,5194	1,5415	0,0221	0,5777	1,2741	0,6994
priemer [g]			0,0532			0,4604
smer. odch. [g]			0,0346			0,2639
variač. koef. [%]			65,04			57,32

Tab. č. 27 40% MB

	m_{f1} [g]	m_{f2} [g]	m_f [g]	m_1 [g]	m_2 [g]	m [g]
1	1,5173	1,5766	0,0593	0,5766	0,8514	0,2748
2	1,5273	1,5881	0,0608	0,4708	0,7755	0,3047
3	1,5670	1,6663	0,0793	0,5455	0,7969	0,2514
4	1,5221	1,6058	0,0837	0,4113	1,1001	0,6888
5	1,5650	1,5760	0,0411	0,6049	1,0084	0,4035
priemer [g]			0,0648			0,3864
smer. odch. [g]			0,0153			0,1606
variač. koef. [%]			23,64			41,77

Tab. č. 28 0% MB+vpich.PES

	m_{f1} [g]	m_{f2} [g]	m_f [g]	m_1 [g]	m_2 [g]	m [g]
1	1,5213	1,5651	0,0438	1,4819	1,8388	0,3569
2	1,5269	1,5679	0,0410	1,4823	2,0035	0,5212
3	1,4797	1,5034	0,0437	1,1318	1,5526	0,4208
4	1,4652	1,5108	0,0456	1,3580	1,6052	0,2472
5	1,5271	1,5689	0,0418	1,1661	1,8463	0,6802
priemer [g]			0,0351			0,4452
smer. odch. [g]			0,0045			0,1473
variač. koef. [%]			10,07			33,09

Tab. č. 29 10% MB+vpich.PES

	m_{f1} [g]	m_{f2} [g]	m_f [g]	m_1 [g]	m_2 [g]	m [g]
1	1,5190	1,5563	0,0373	1,3014	1,4910	0,1896
2	1,5528	1,5799	0,0271	1,3040	1,4724	0,1684
3	1,5498	1,5887	0,0389	1,1886	1,4118	0,2232
4	1,5398	1,5667	0,0346	1,1366	1,8627	0,7261
5	1,5015	1,5366	0,0351	1,2071	1,4164	0,2093
priemer [g]			0,0346			0,3033
smer. odch. [g]			0,0041			0,2121
variač. koef. [%]			11,72			69,95

V 11/98

T

A